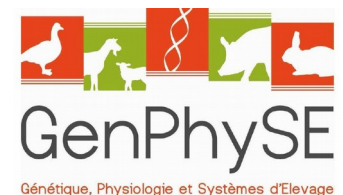


# Identification de relations enhancer/gène dans les génomes animaux

Mestre Camille

Zouine Mohammed

Djebali Sarah



# Plan

**I. Contexte et définitions**

**II. Interactions spatiales**

**III. Ouverture de la chromatine**

**IV. Expression des gènes associée à l'ouverture de la chromatine**

**V. Conclusions et discussion**

# Plan

## I. Contexte et définitions

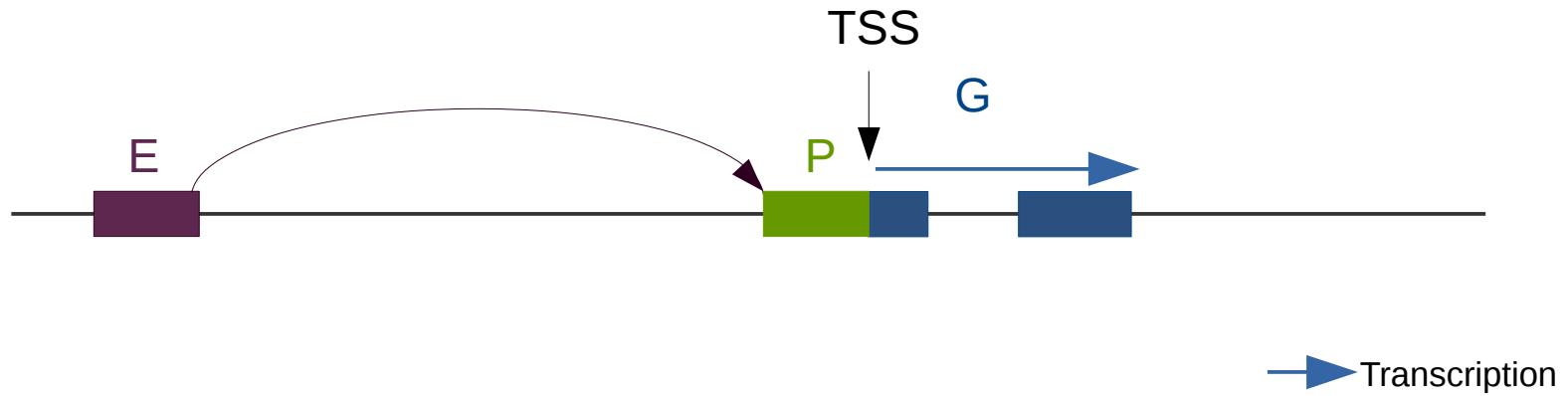
## II. Interactions spatiales

## III. Ouverture de la chromatine

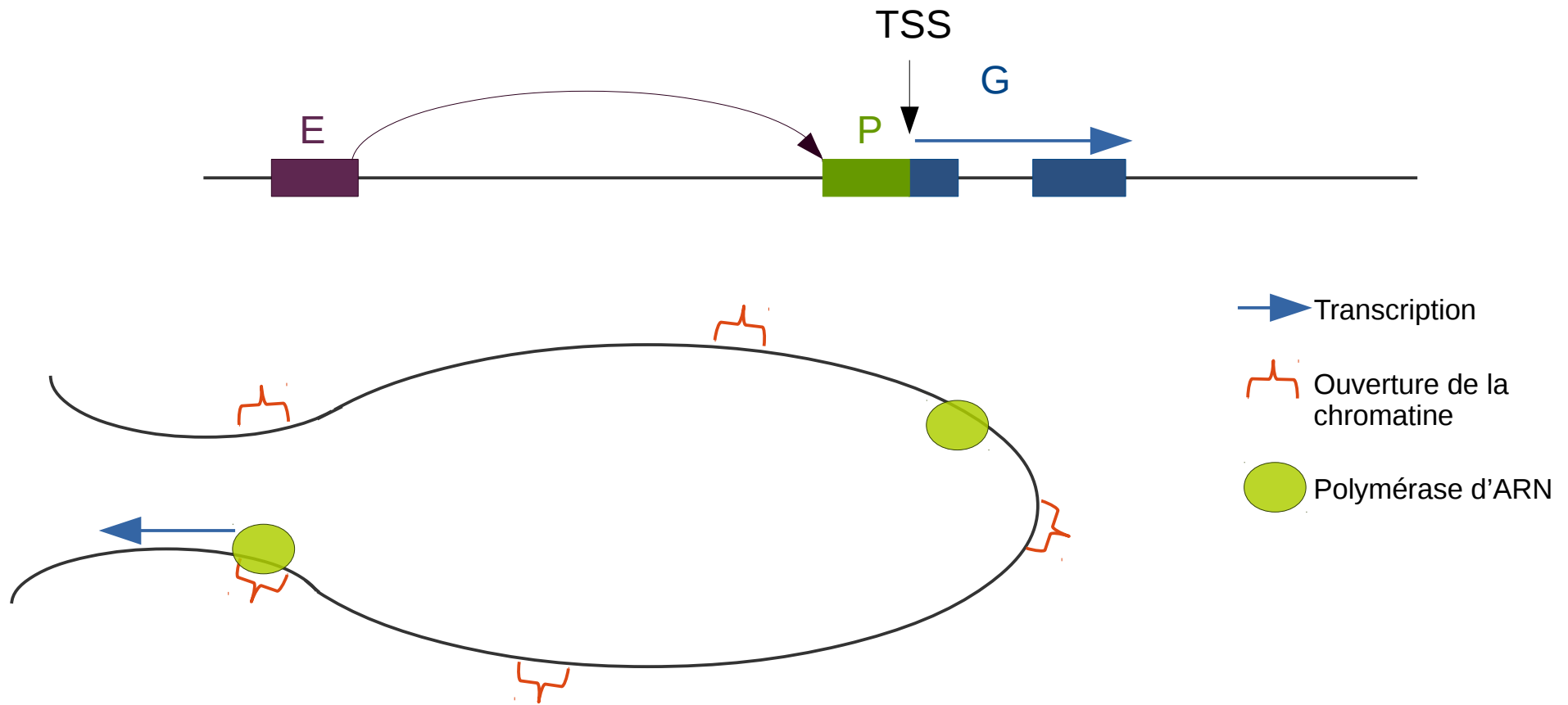
## IV. Expression des gènes associée à l'ouverture de la chromatine

## V. Conclusions et discussion

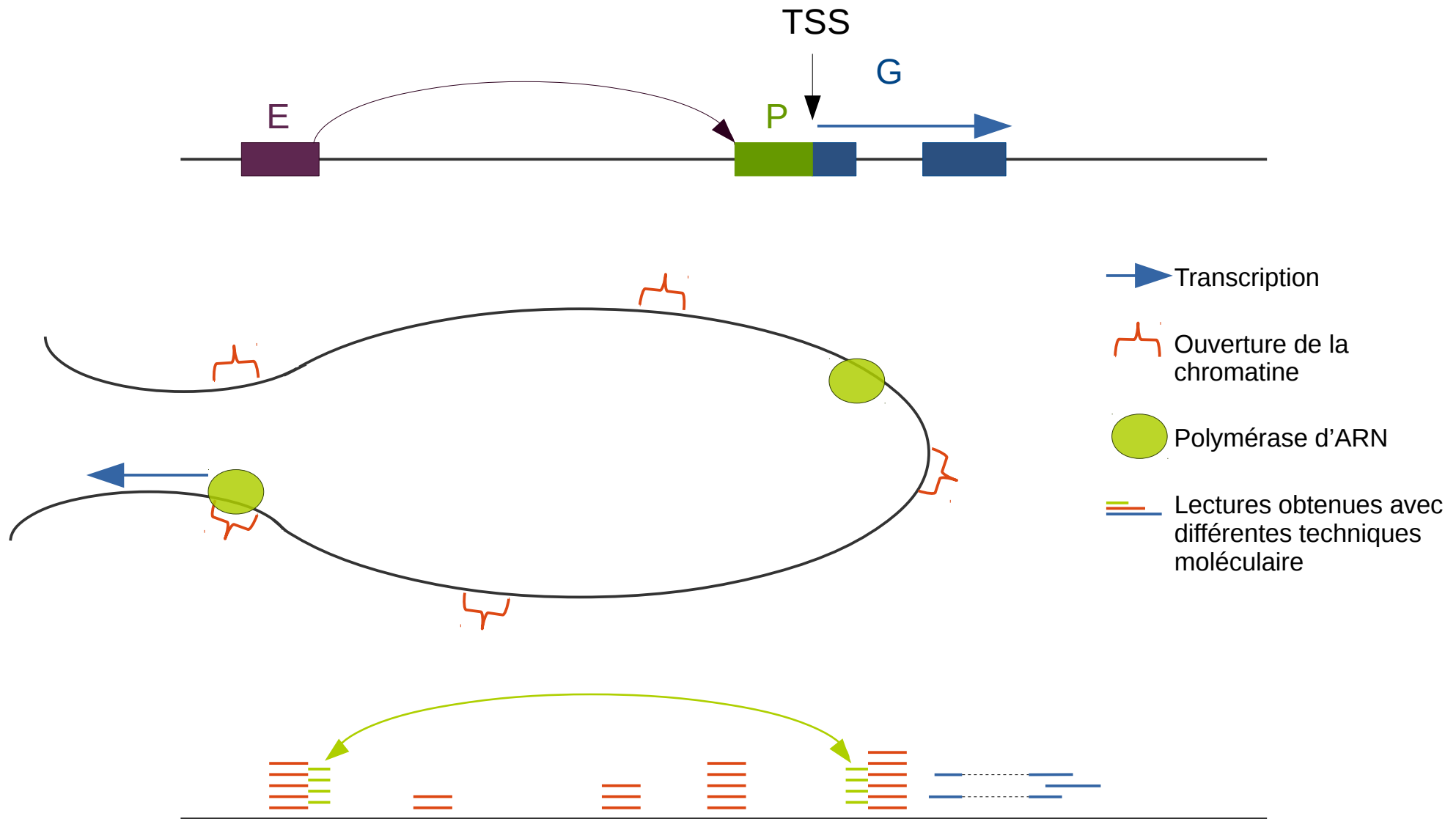
# Contexte et définition



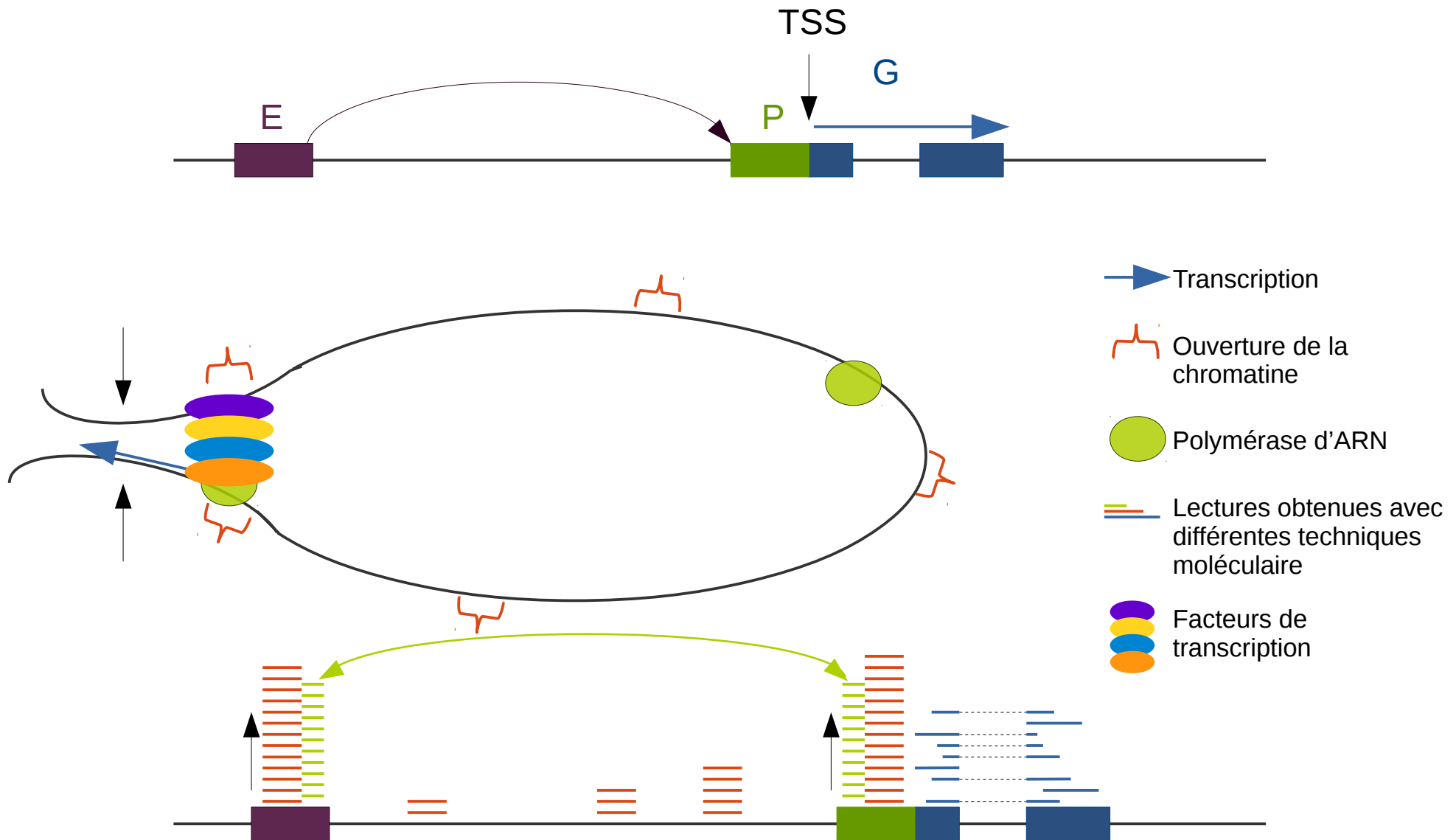
# Contexte et définition



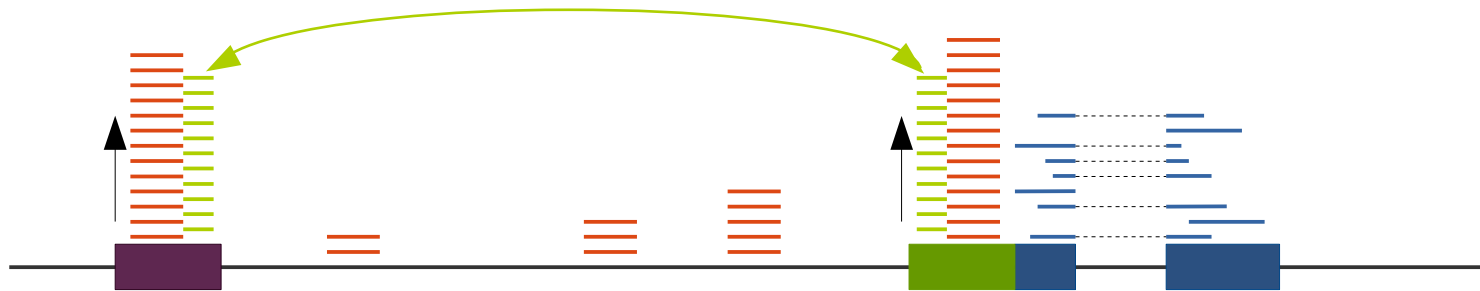
# Contexte et définition



# Contexte et définition



# Terminologie



- **Enhancer** : un élément régulateur distant
- **TSS** : le départ de la transcription
- **Promoteur** : la région qui se situe à plus ou moins 1kb du TSS
- **Dnase-seq** : la mesure de l'ouverture de la chromatine
- **RNA-seq** : la mesure de la transcription



## Problématiques

- Est-il possible de constituer un ensemble de relations enhancer/gène de référence ?
- Les données d'ouverture de la chromatine et les données de transcription permettent-elles d'identifier les relations enhancer/gène ?
- Quelles sont les méthodes d'identification simples existantes ?
- Laquelle de ces méthodes est la plus fiable, la plus facile à mettre en œuvre et celle nécessitant le moins de données différentes ?

# Plan

I. Contexte et définitions

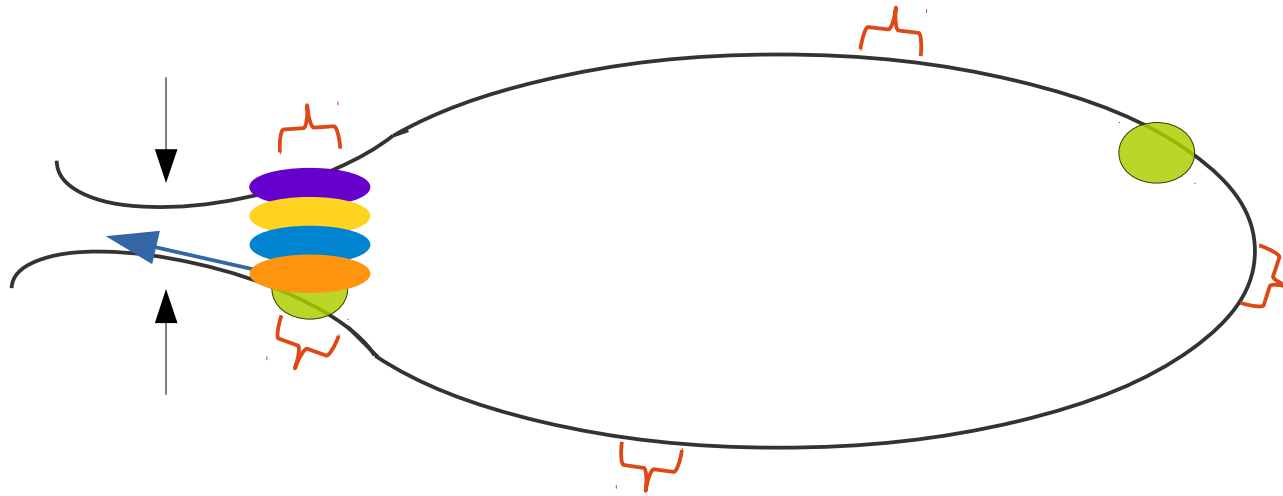
**II. Interactions spatiales**

III. Ouverture de la chromatine

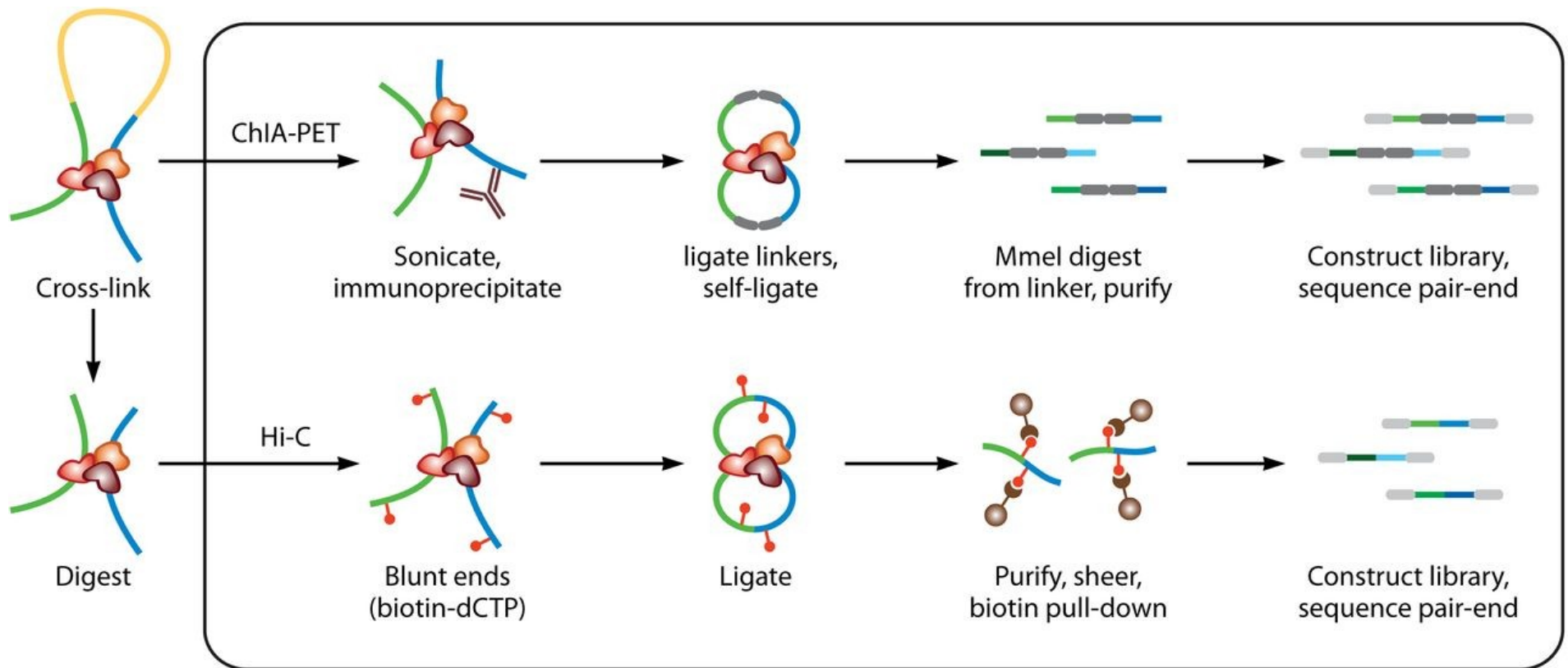
IV. Expression des gènes associée à l'ouverture de la chromatine

V. Conclusions et discussion

# Interactions spatiales

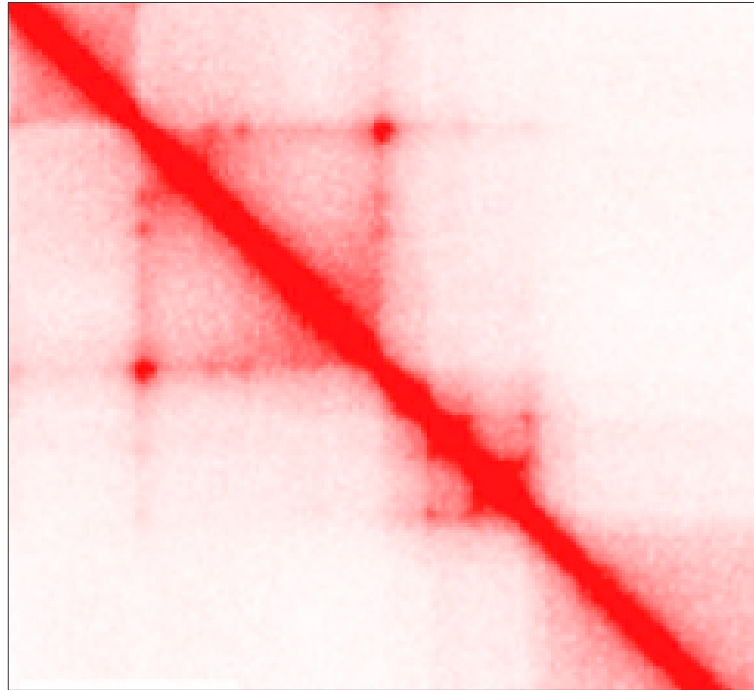


# Interactions spatiales

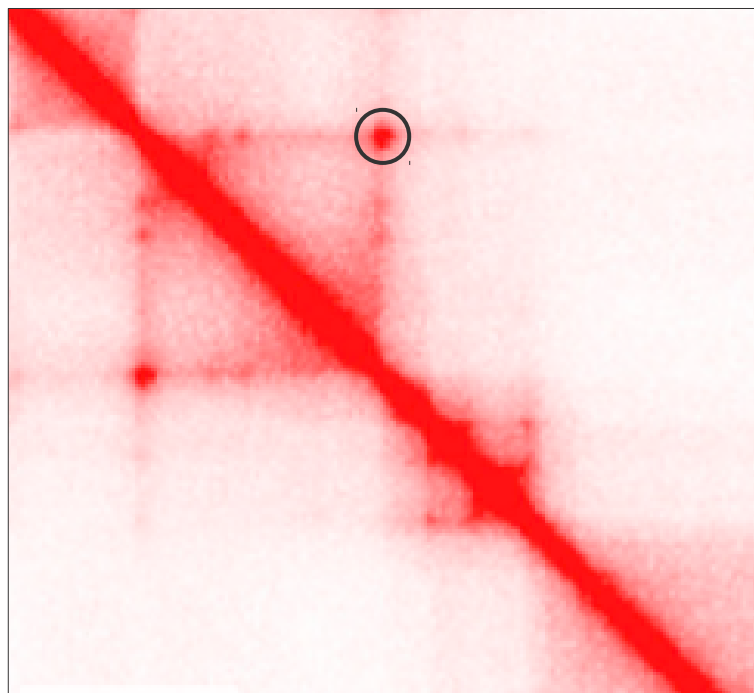


*Bouwman and de Laat. Genome biology, 16(1):154, 2015*

# Interactions spatiales



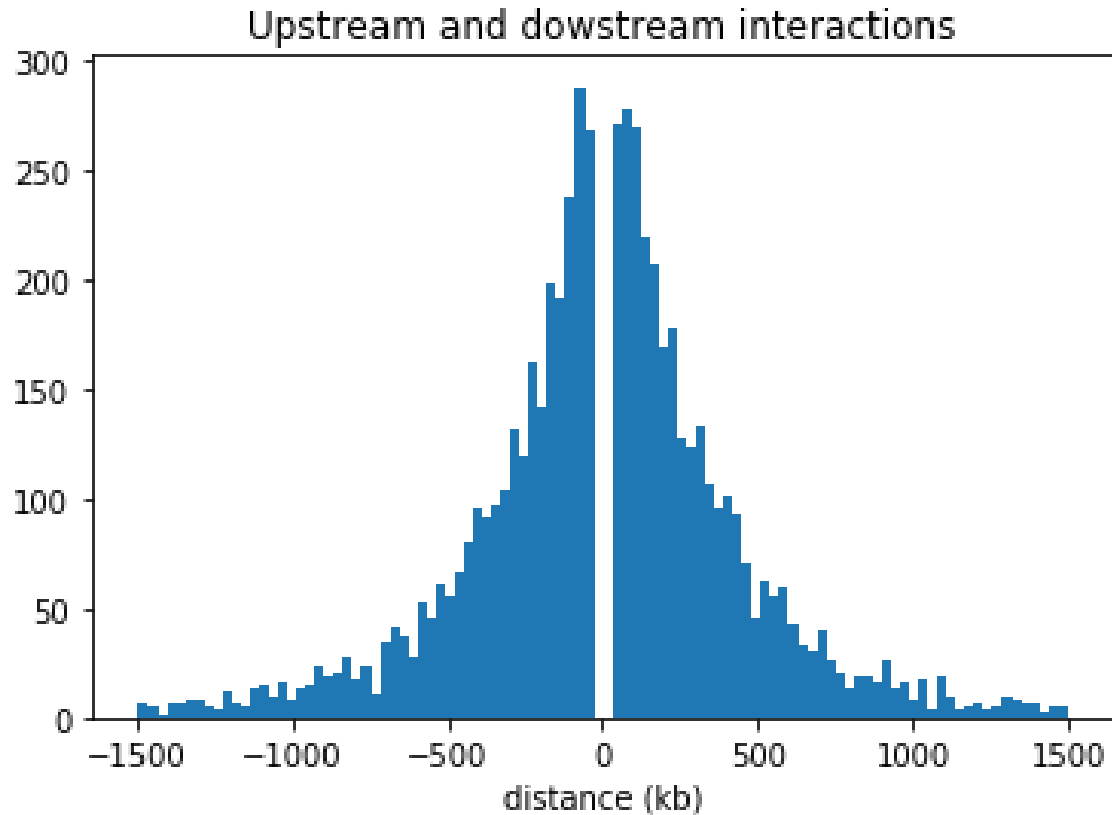
# Interactions spatiales



# Interactions spatiales

	cHi-C	<i>in situ</i> Hi-C	ChIA-PET
Nombre de paires	1 618 000	9 448	113 561
Intrachromosomique	99,9 % 1 617 904	100 %	88 % 100 263
Taille d'intervalles (en bp)	930 (de 5 à 11 000 000)	6 660 (de 5 000 à 10 000)	880 (de 10 à 23 000)
Inter intervalles (en bp)	315 000 (de 10 à 191 000 000)	1 170 000 (de 30 000 à 220 690 000)	850 000 (de 5 à 227 000 000)
Interactions impliquant au moins un promoteur	99 % 1 602 356	51,8 % 4 896	95,3 % 108 192
Score	log(observé/attendu)	Valeur observée, valeur attendue, FDR	Nombre de PET
Espèce/lignée cellulaire	Homme / GM12878		
Référence	Mifsud et al., Mapping long-range promoter contacts in human cells with high-resolution capture hi-c.	Rao et al., A 3d map of the human genome at kilobase resolution reveals principles of chromatin looping	Tang et al., Ctf-mediated human 3d genome architecture reveals chromatin topology for transcription

# Interactions spatiales

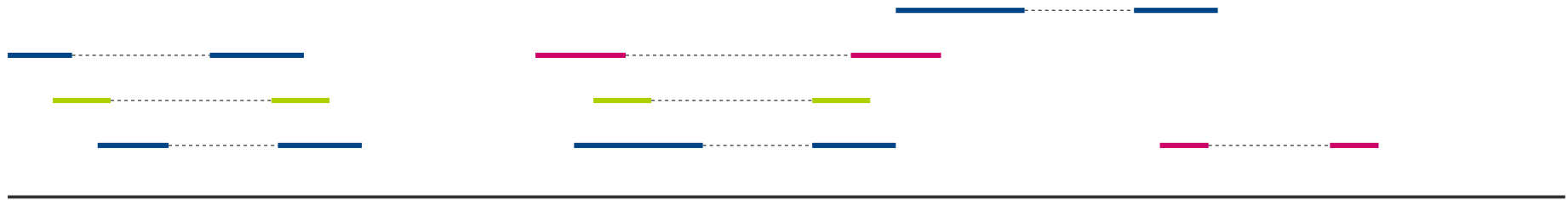


Interactions promoteurs/autres

Effet distance important

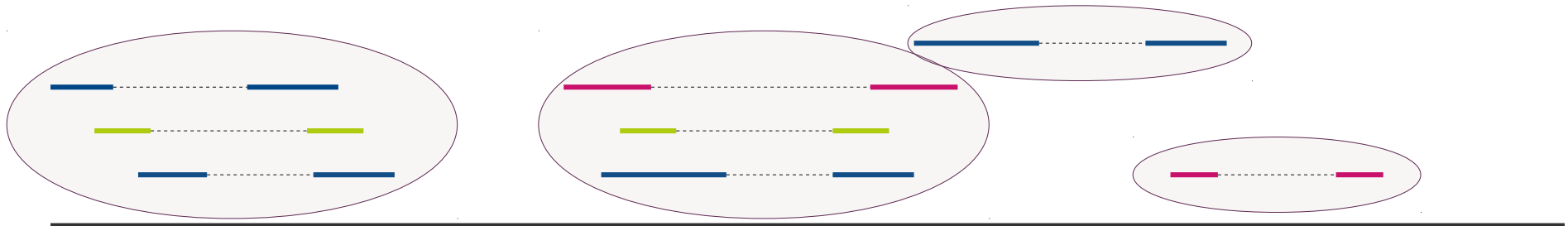



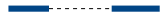


# Interactions spatiales



- Interaction observée avec *in situ* Hi-C
- Interaction observée avec cHi-C
- Interaction observée avec ChIA-PET

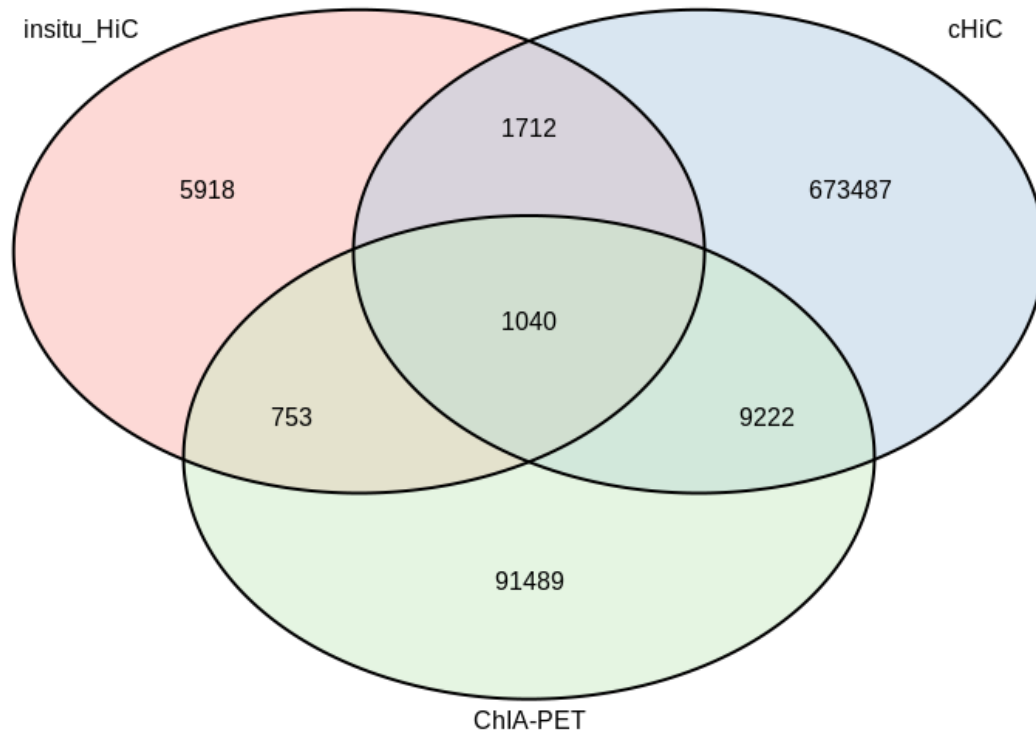
# Interactions spatiales



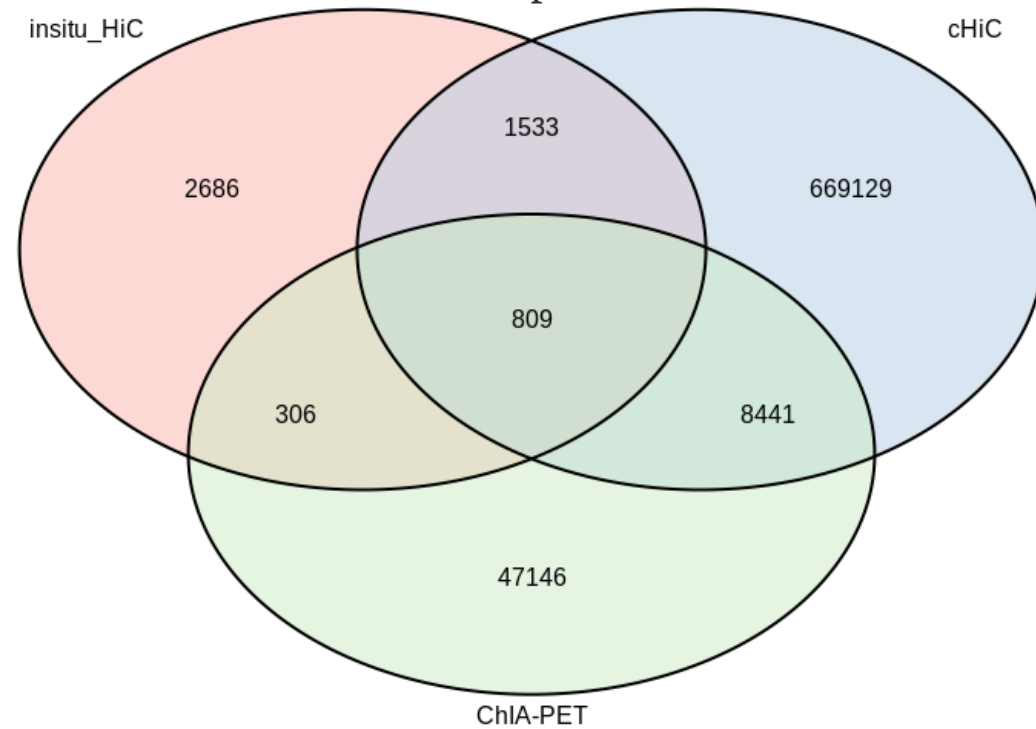
-  Interaction observée avec *in situ* Hi-C
-  Interaction observée avec cHi-C
-  Interaction observée avec ChIA-PET
-  Groupement des interactions en composantes connexes

# Interactions spatiales

Toutes les interactions spatiales

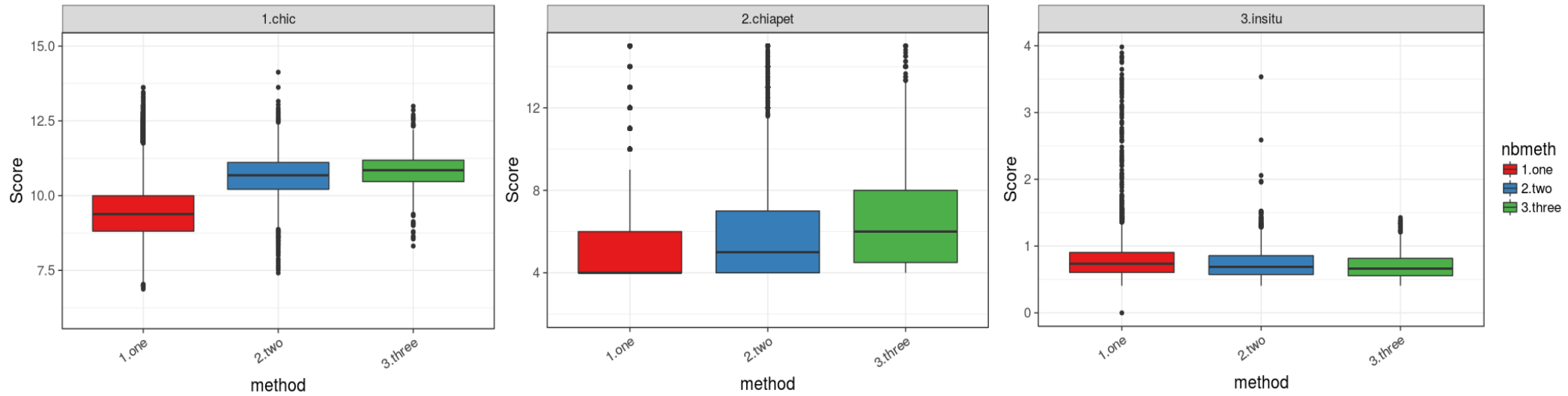


Interactions spatiales incluant au moins un promoteur



Intersection des trois techniques moléculaires : ChIA-PET, *in situ* Hi-C et cHi-C.

# Interactions spatiales



# Plan

**I. Contexte et définitions**

**II. Interactions spatiales**

**III. Ouverture de la chromatine**

**IV. Expression des gènes associée à l'ouverture de la chromatine**

**V. Conclusions et discussion**

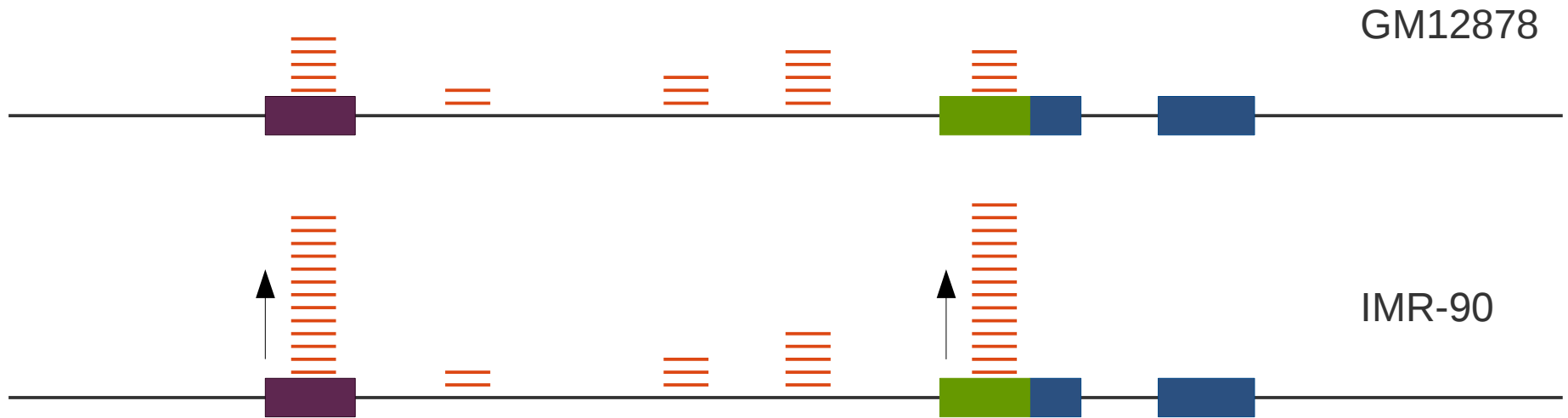
# Ouverture de la chromatine

- **10 tissus et lignées cellulaires**
  - GM12878
  - IMR 90
  - small\_intestine
  - adrenal\_gland
  - HepG2
  - stomach
  - heart
  - thymus
  - K562
  - H1-hESC

# Ouverture de la chromatine

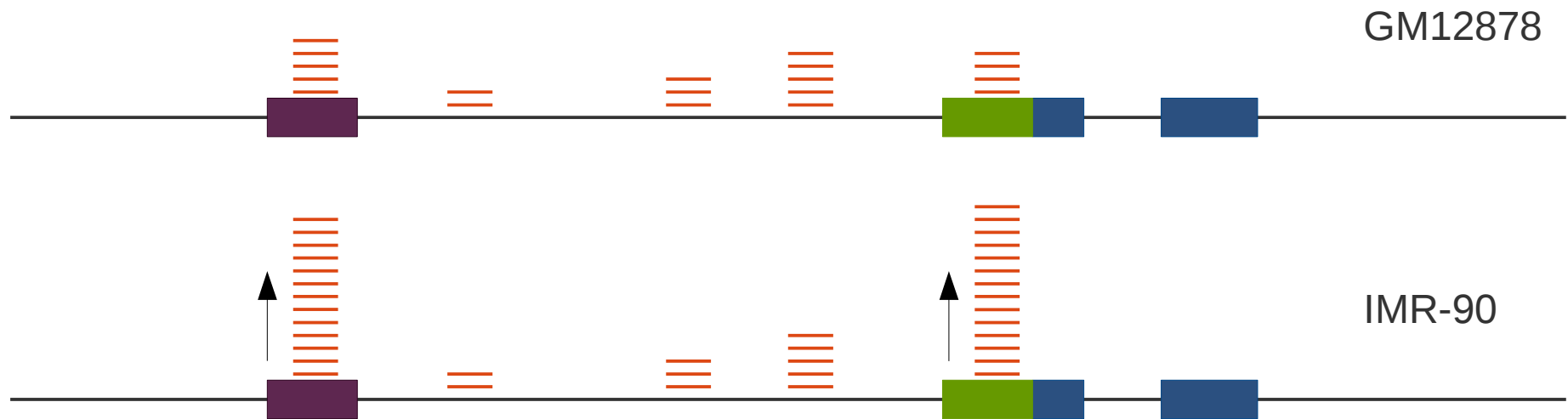


# Ouverture de la chromatine



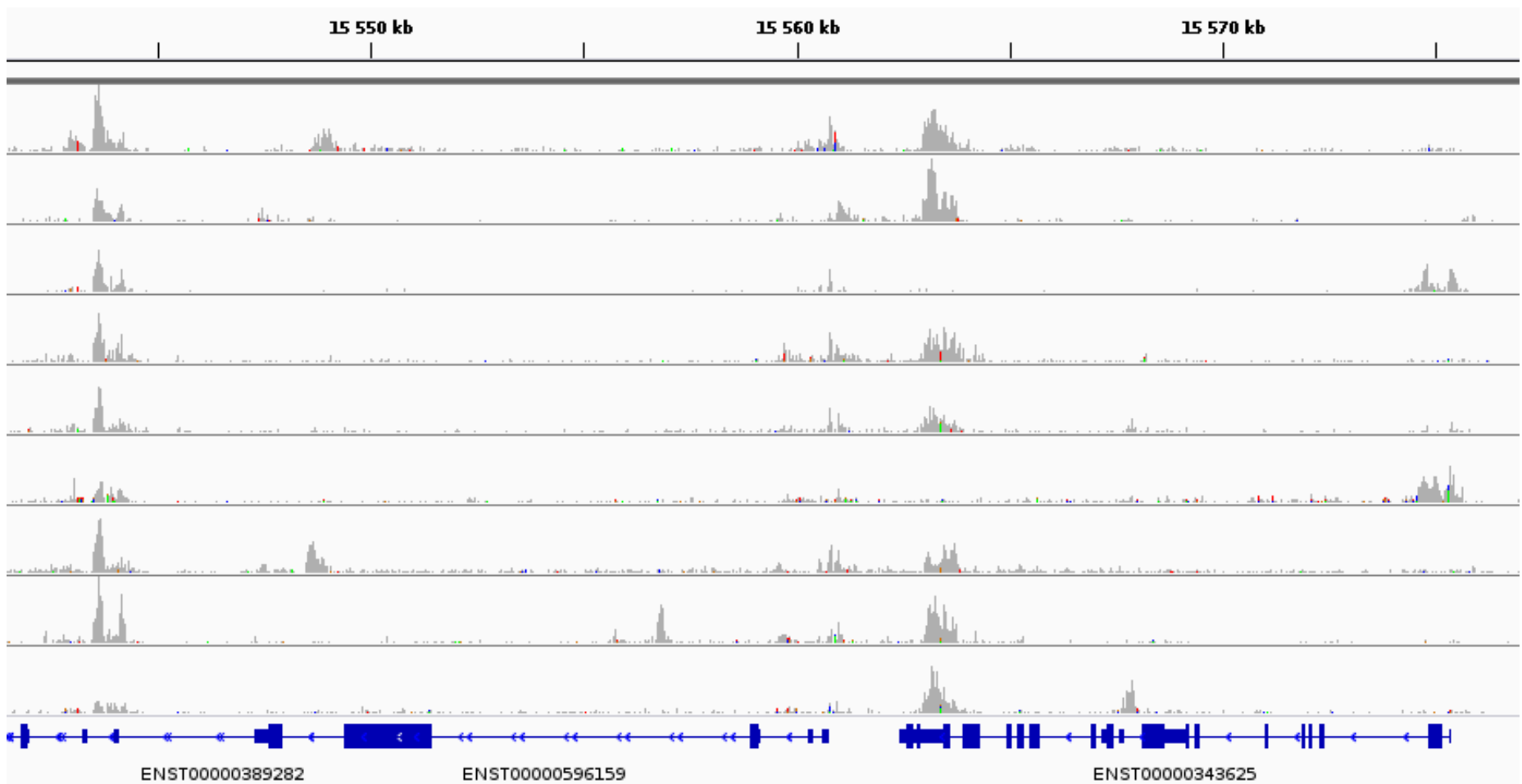


# Ouverture de la chromatine

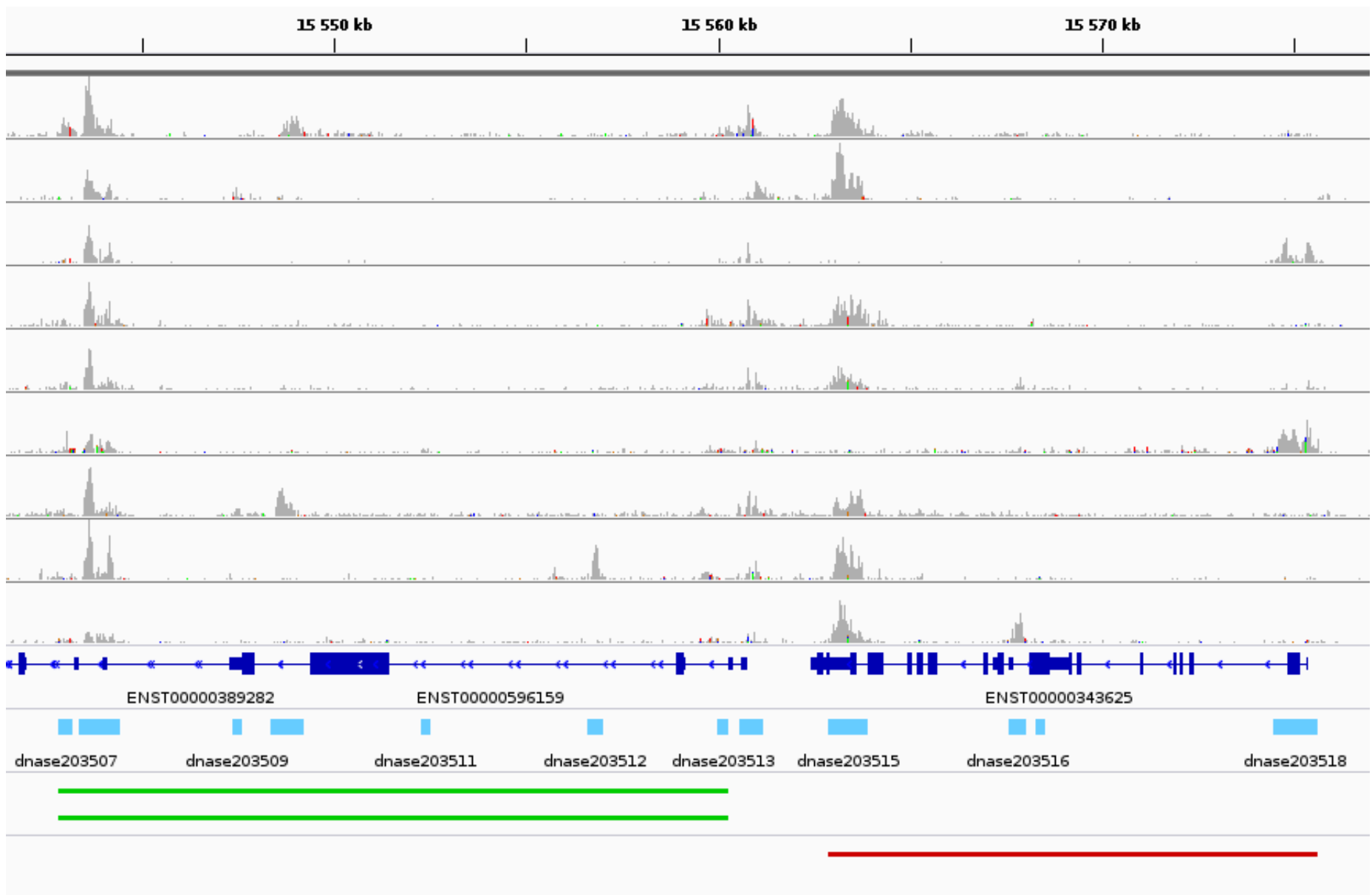


Robert E Thurman et al. Nature, 489(7414):75, 2012.

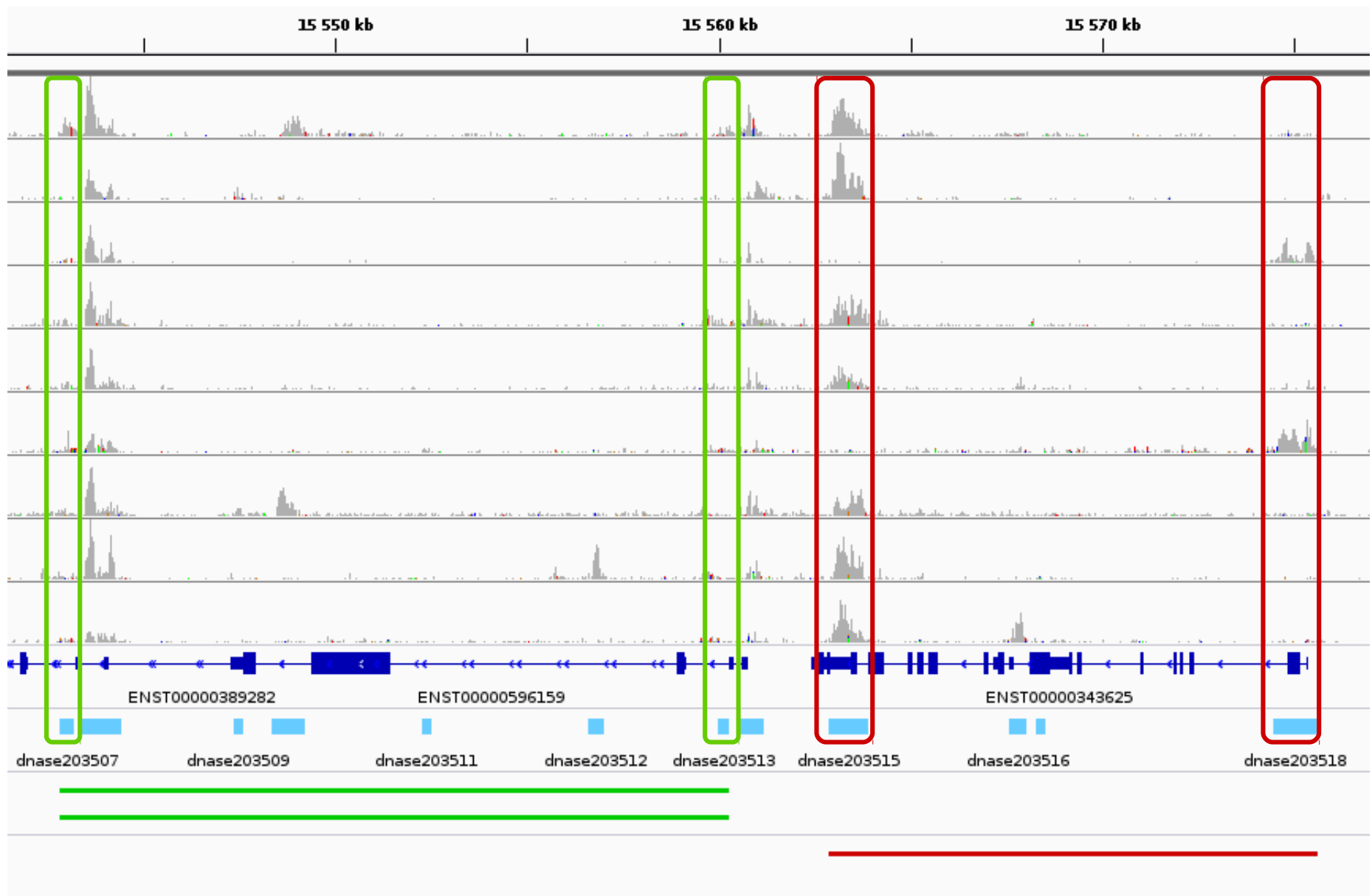
# Ouverture de la chromatine



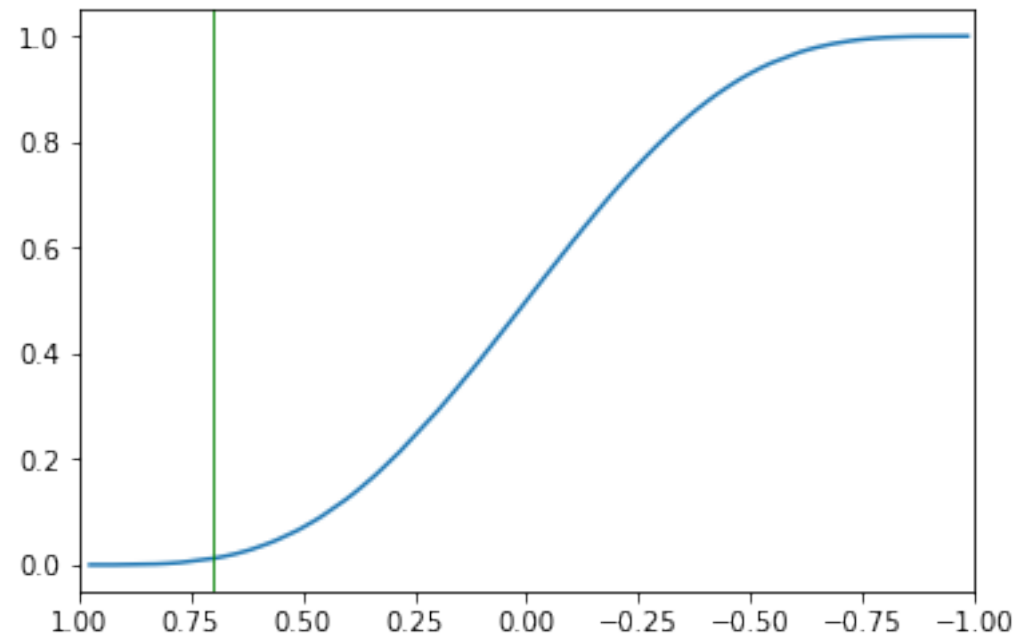
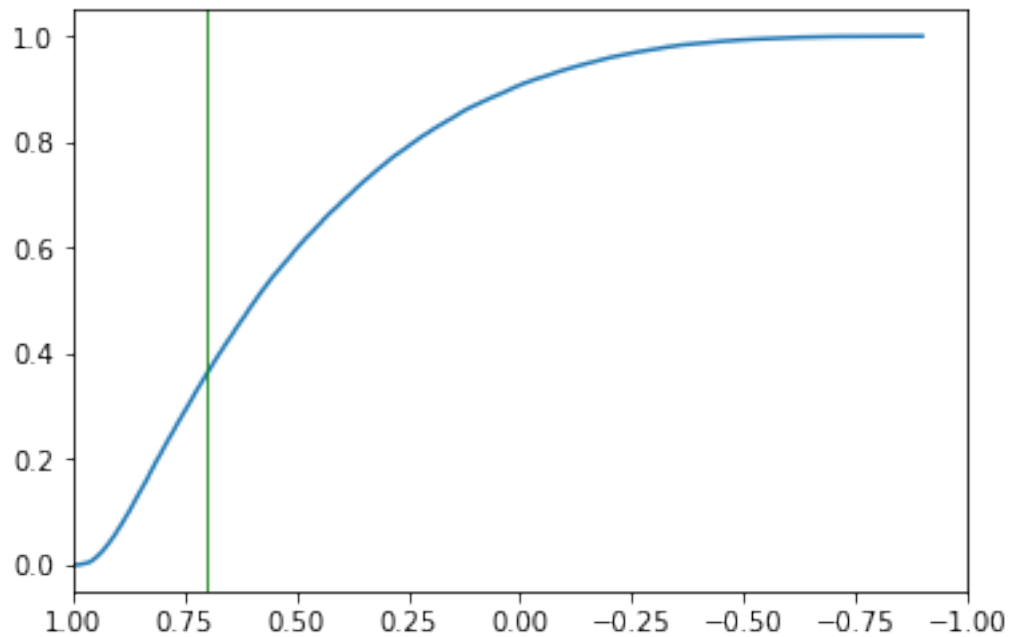
# Ouverture de la chromatine



# Ouverture de la chromatine

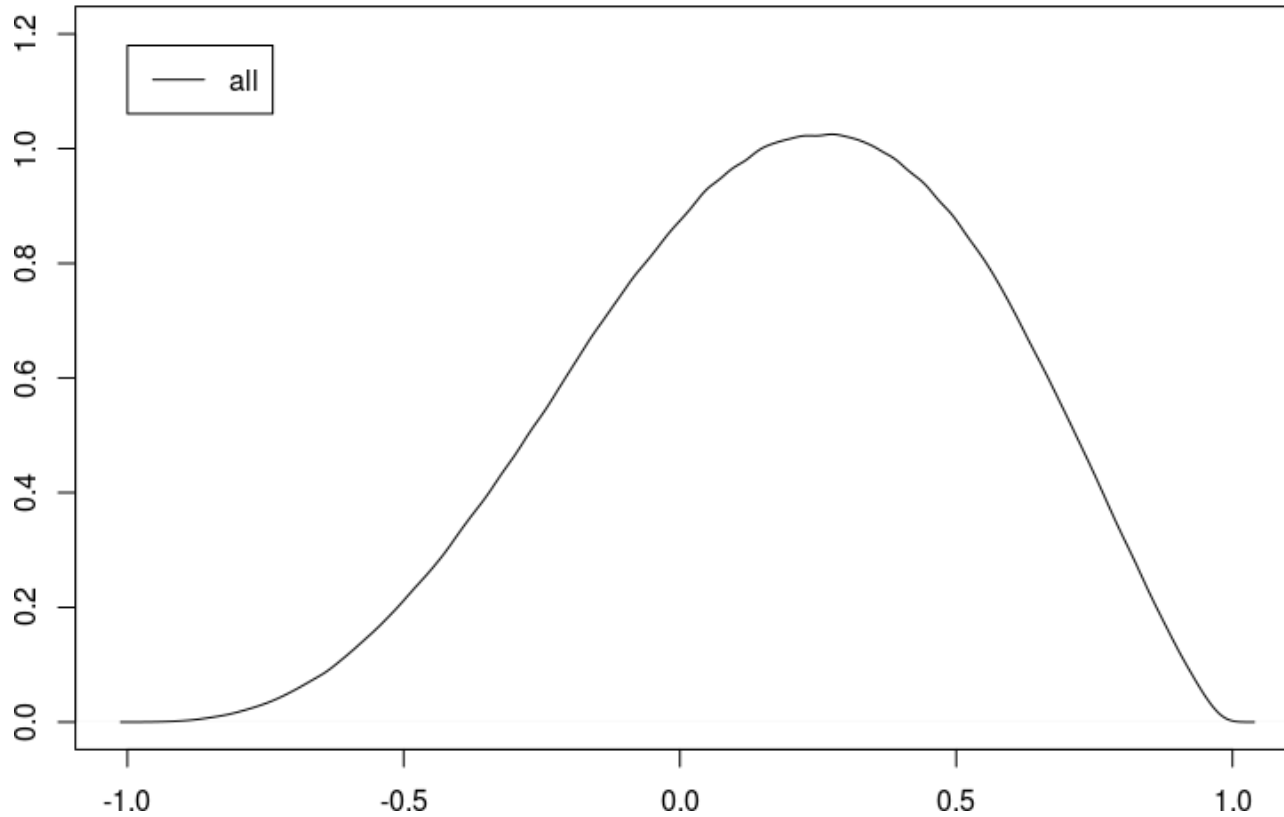


# Ouverture de la chromatine



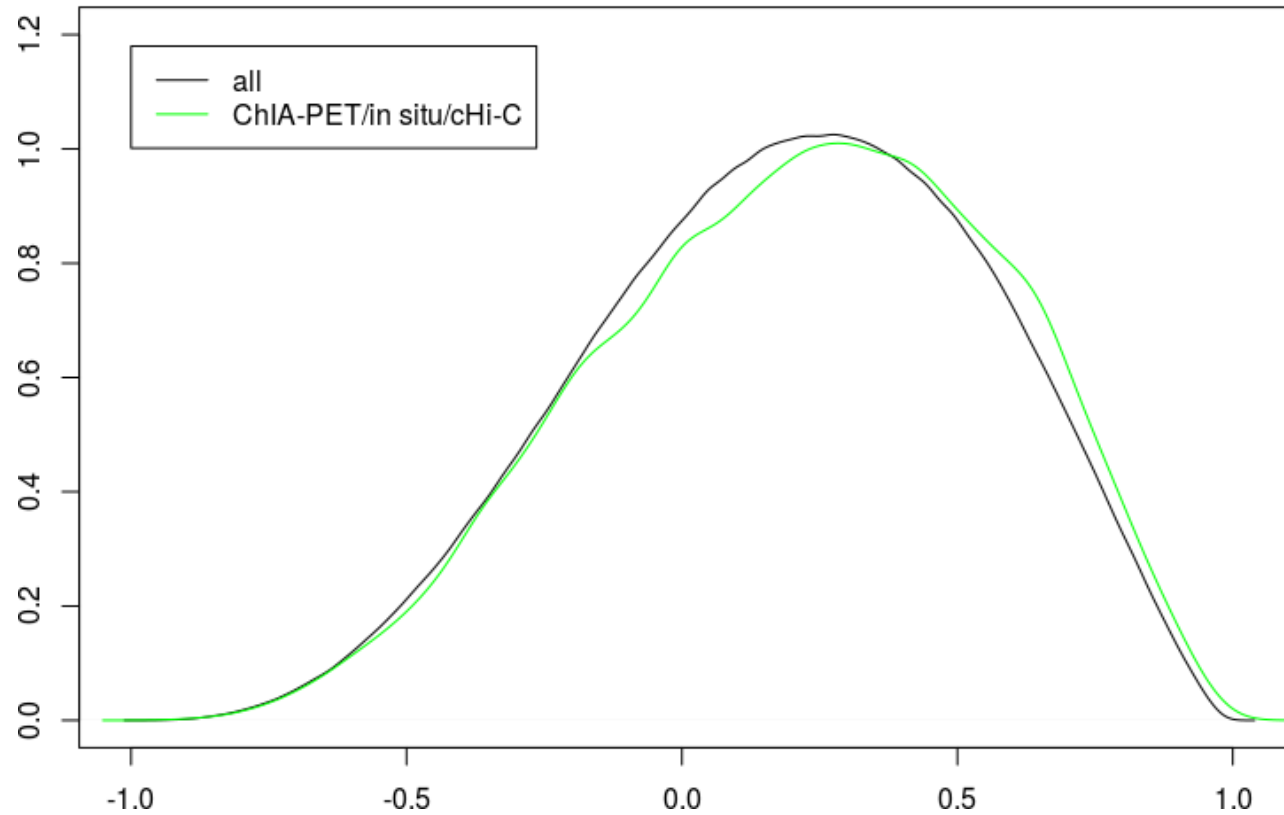
# Ouverture de la chromatine

Density of correlation



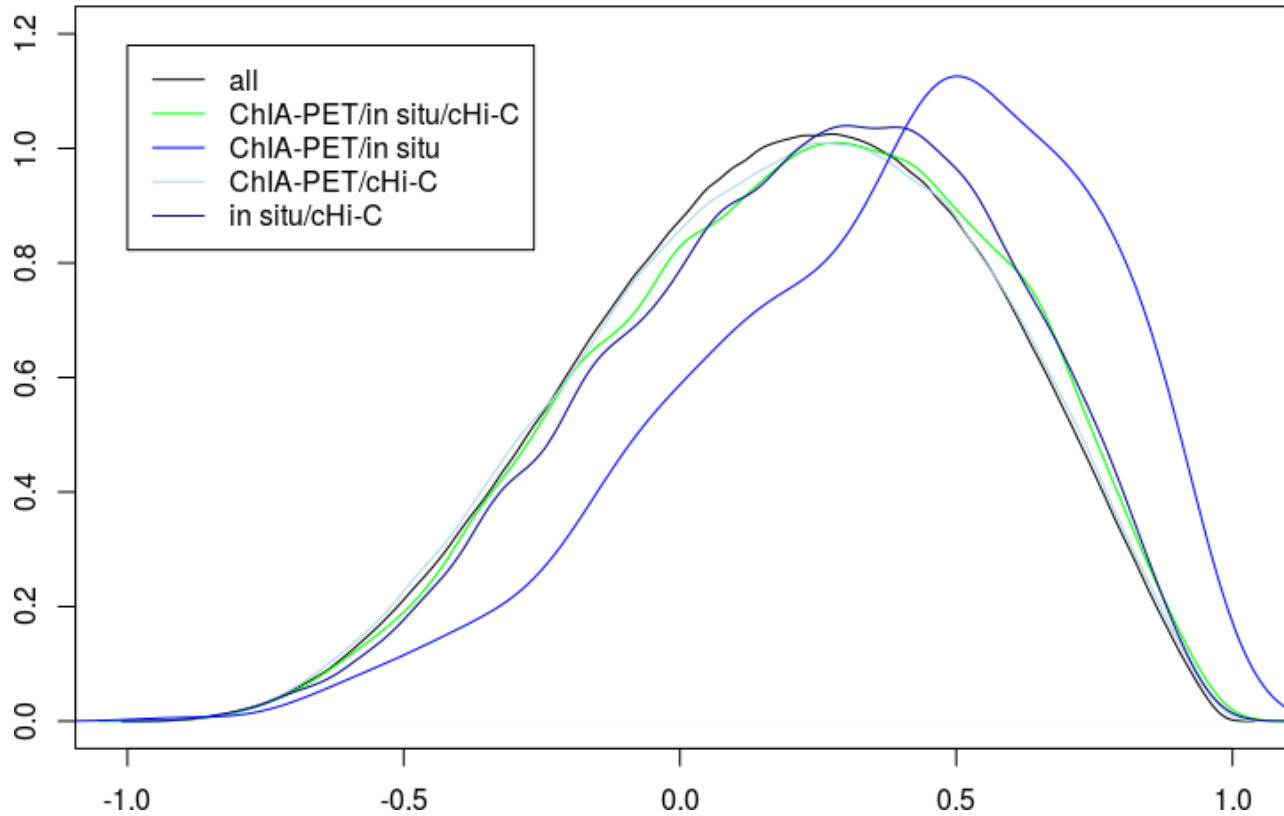
# Ouverture de la chromatine

Density of correlation



# Ouverture de la chromatine

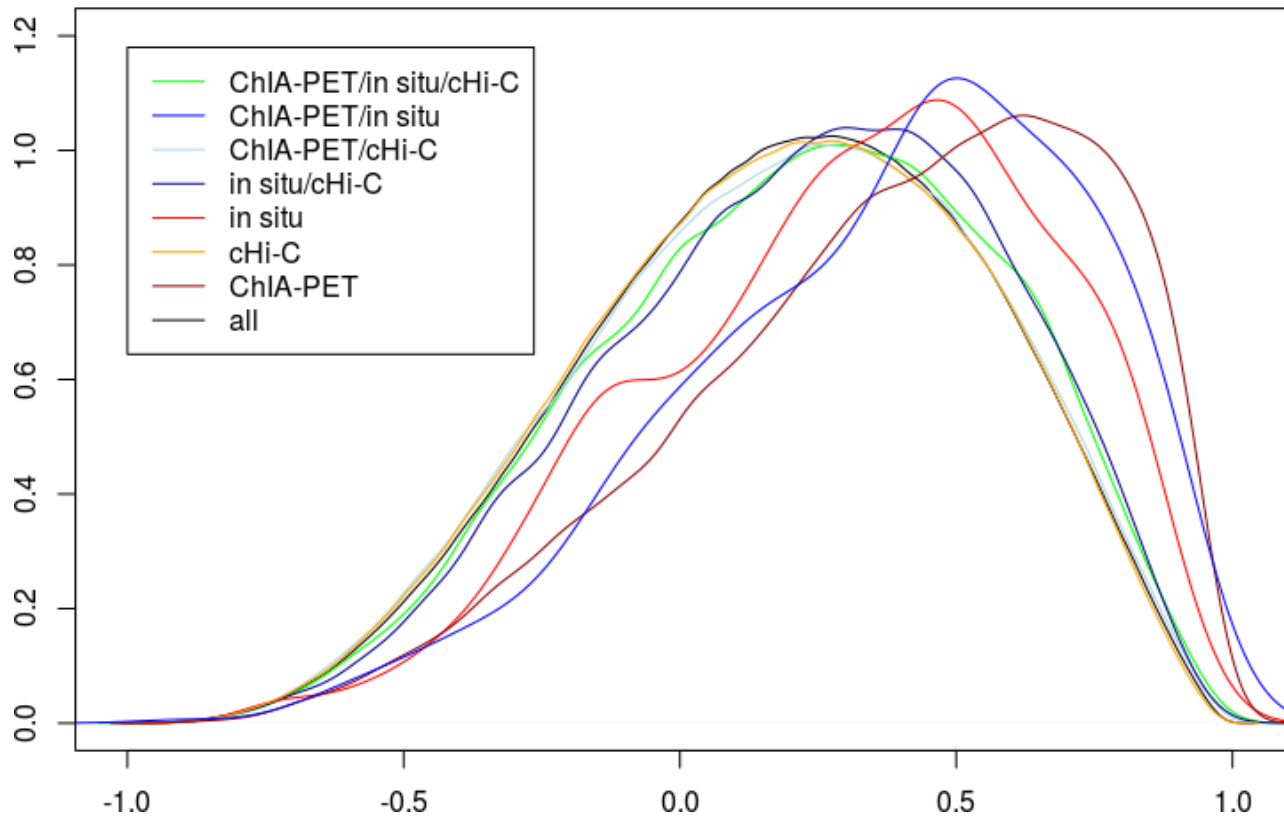
Density of correlation





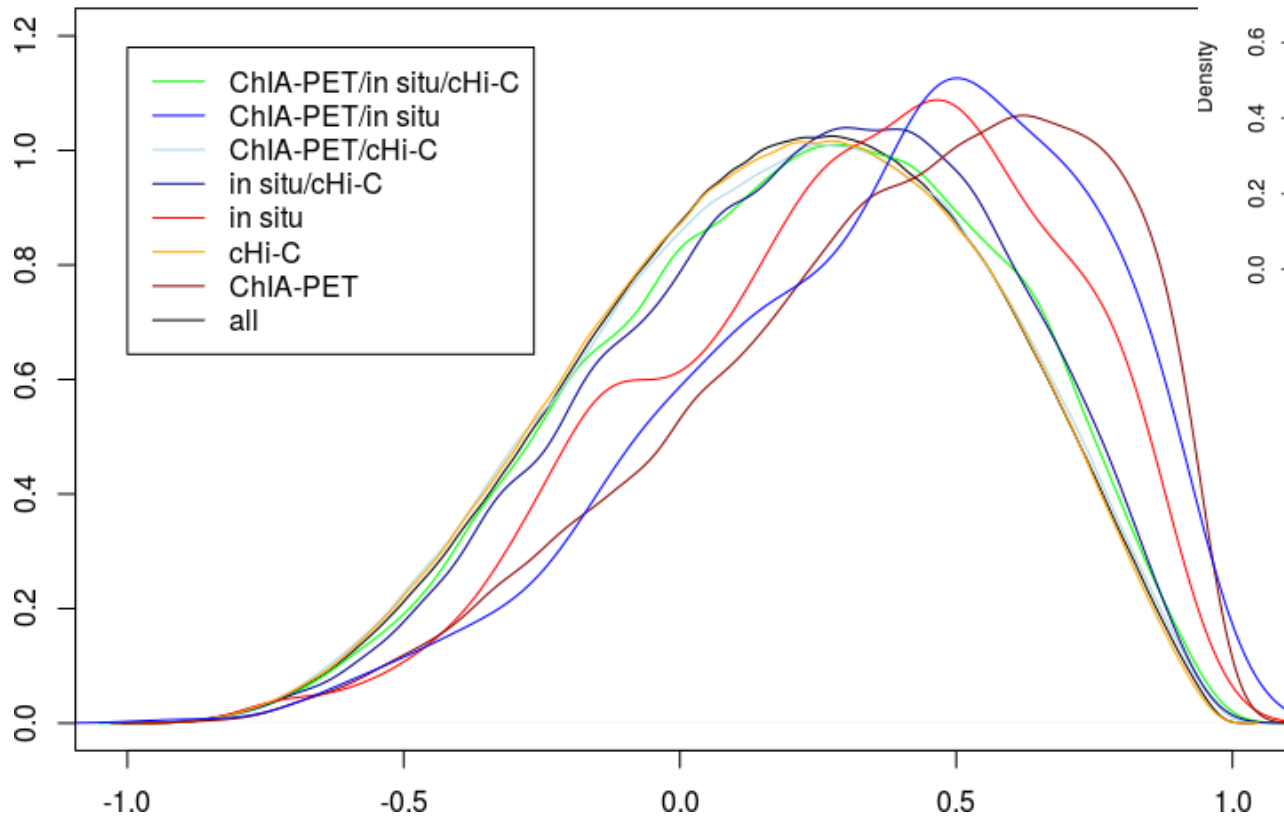
# Ouverture de la chromatine

Density of correlation

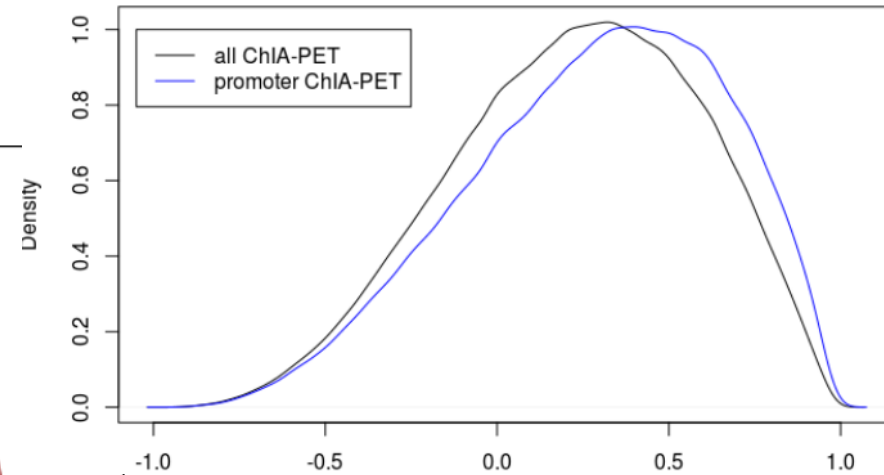


# Ouverture de la chromatine

Density of correlation

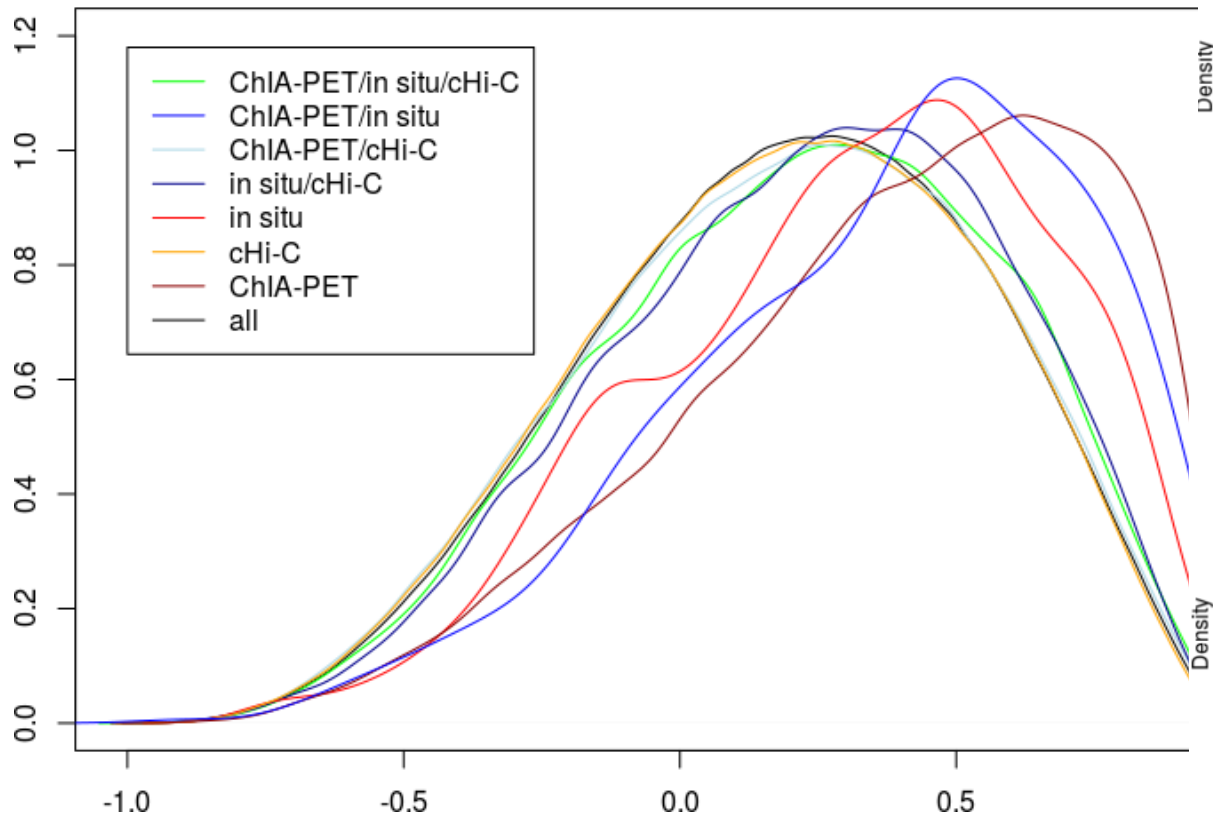


Density of correlation  
ChIA-PET

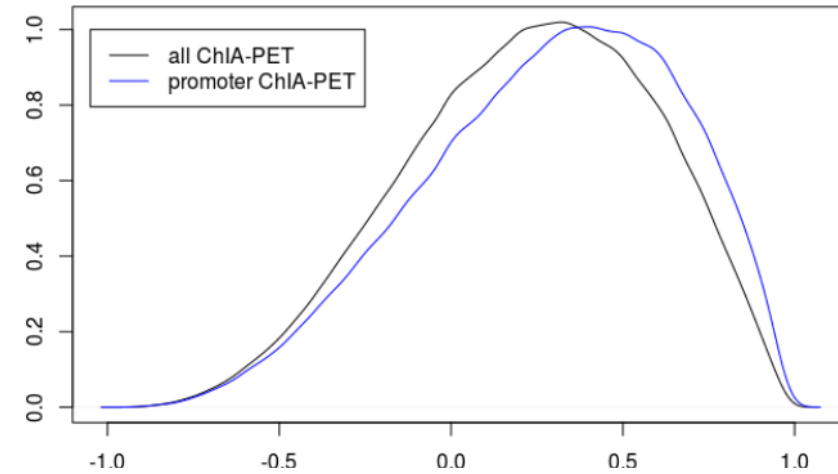


# Ouverture de la chromatine

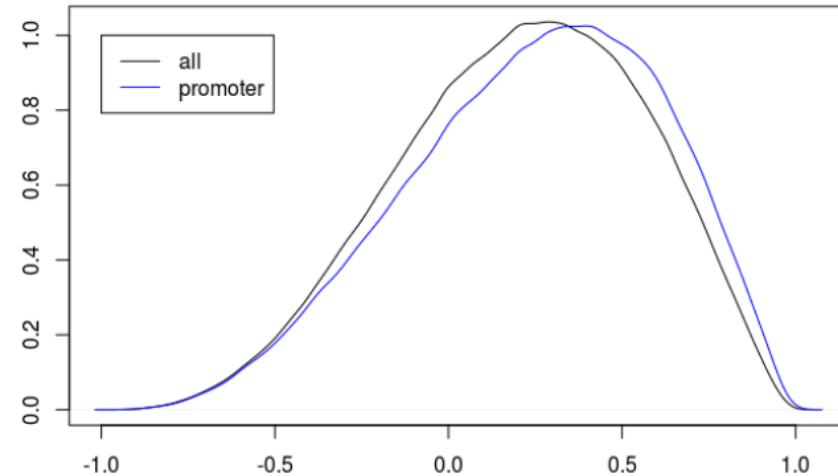
Density of correlation



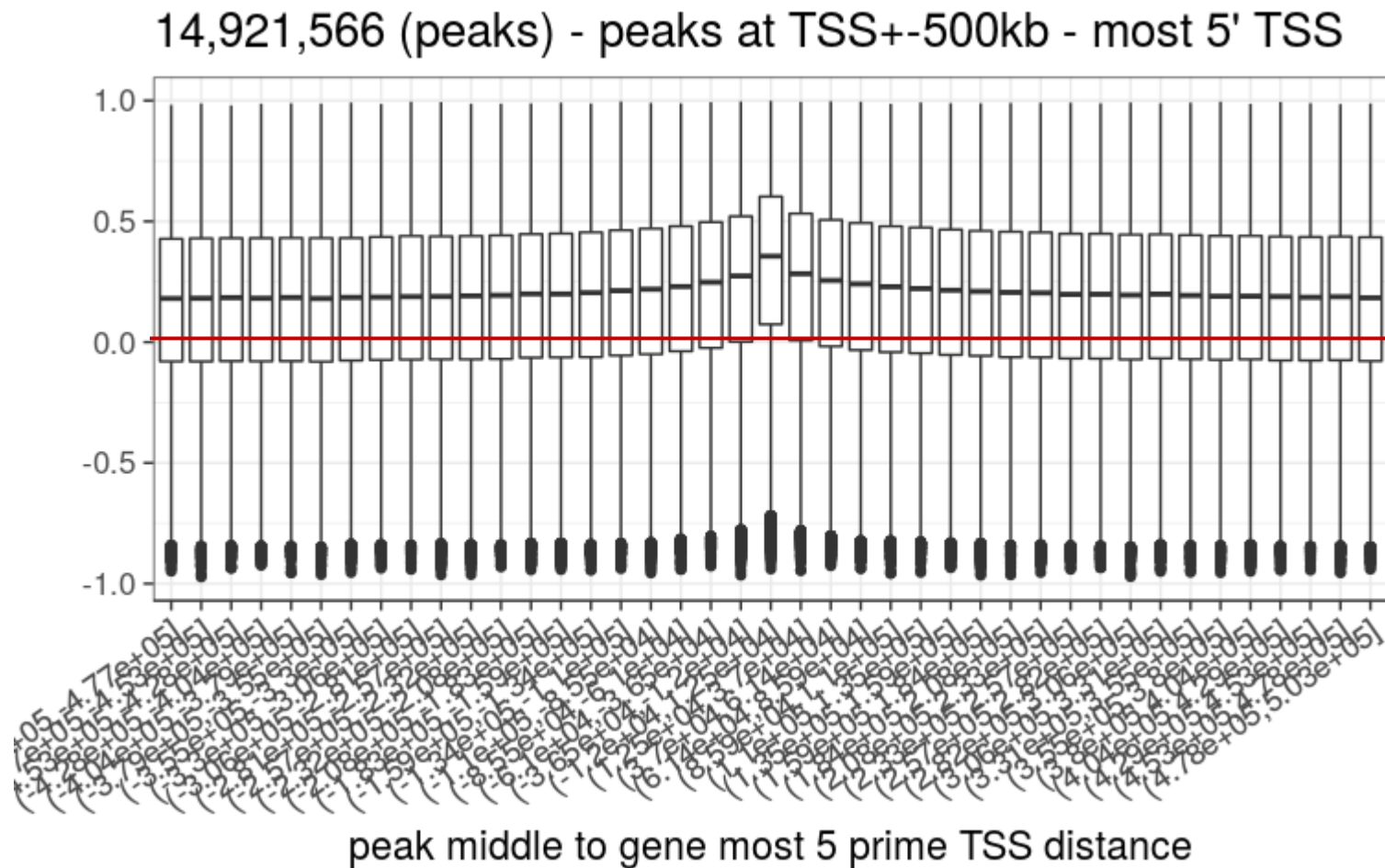
Density of correlation  
ChIA-PET



Density of correlation  
two or three methods



# Ouverture de la chromatine



# Plan

I. Contexte et définitions

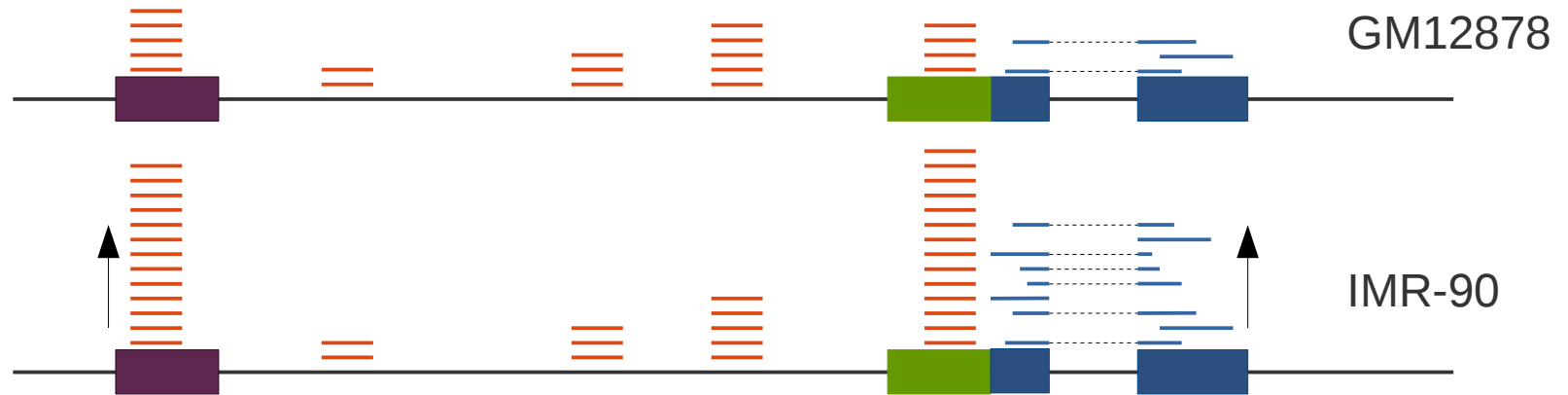
II. Interactions spatiales

III. Ouverture de la chromatine

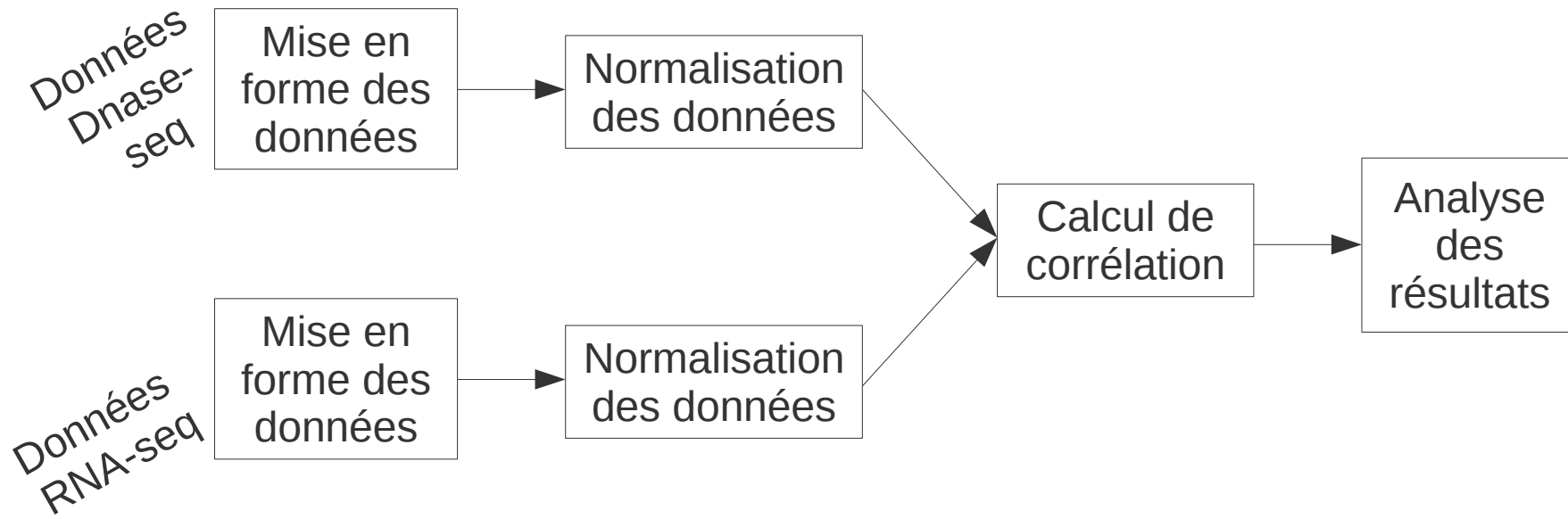
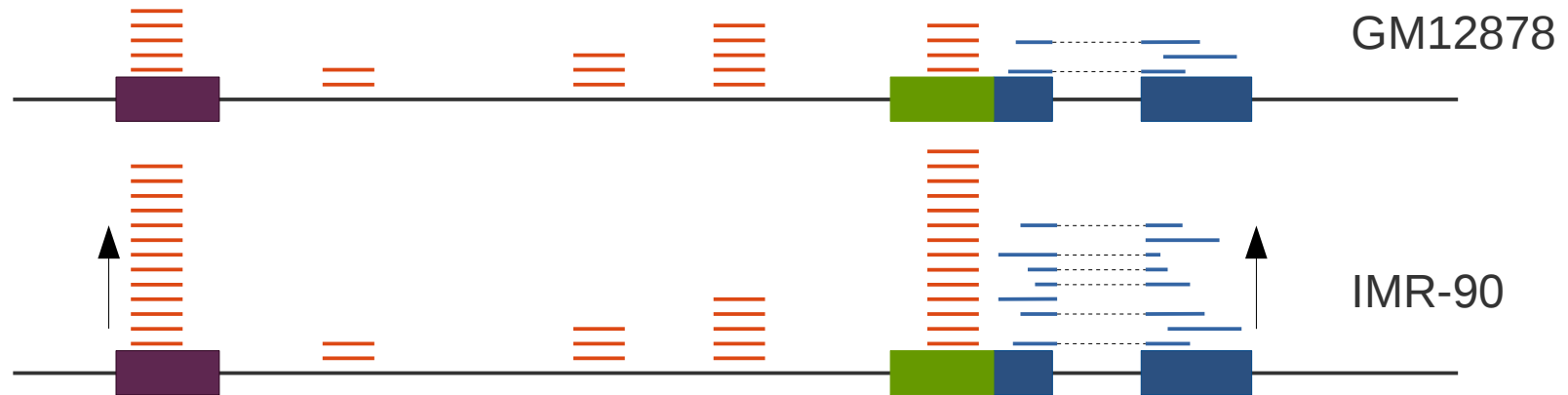
**IV. Expression des gènes associée à l'ouverture de la chromatine**

V. Conclusions et discussion

# Expression des gènes associée à l'ouverture de la chromatine

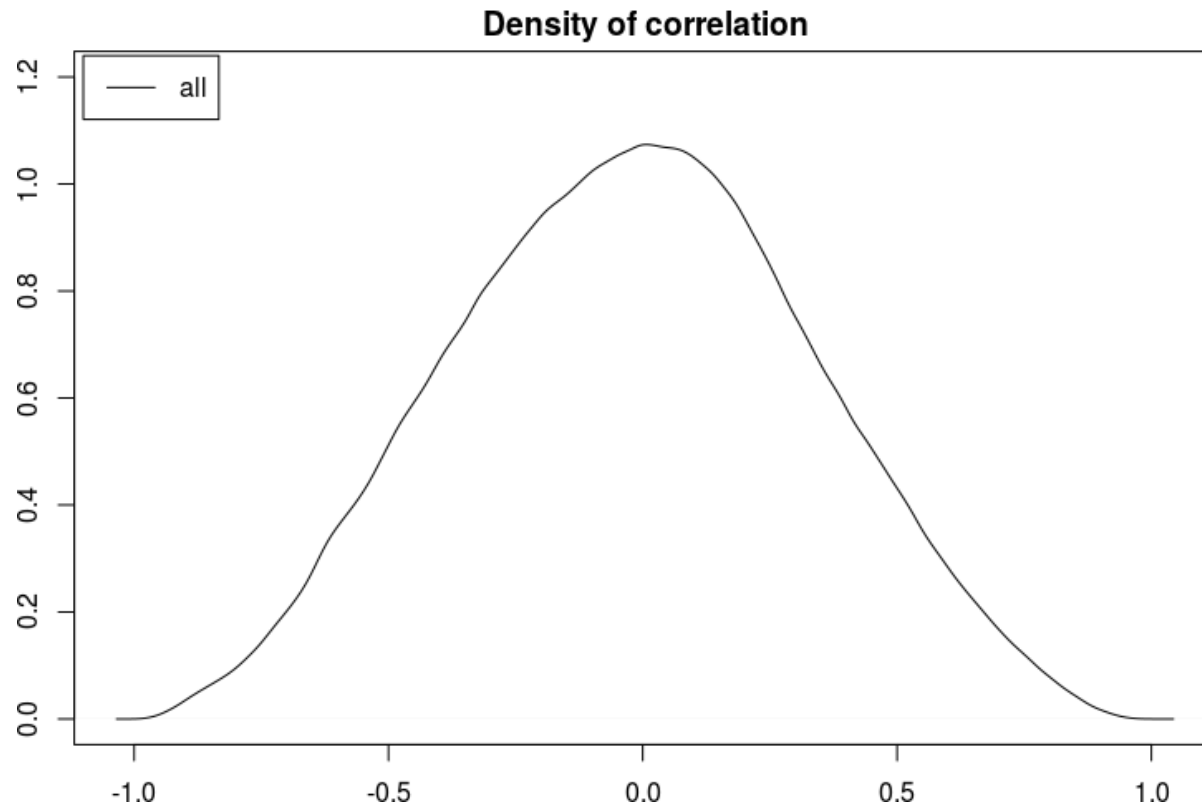


# Expression des gènes associée à l'ouverture de la chromatine



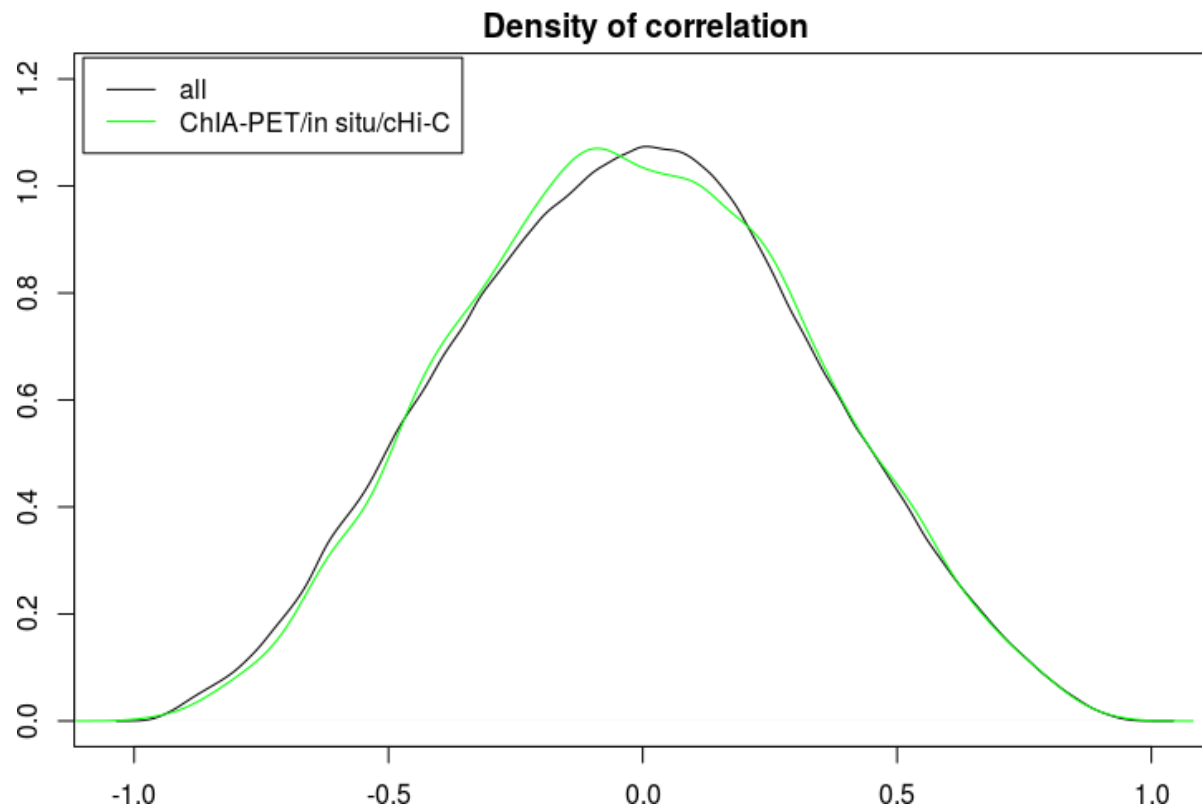
Nathan C. Sheffield et al., Genome research 23.5 (2013)

# Expression des gènes associée à l'ouverture de la chromatine

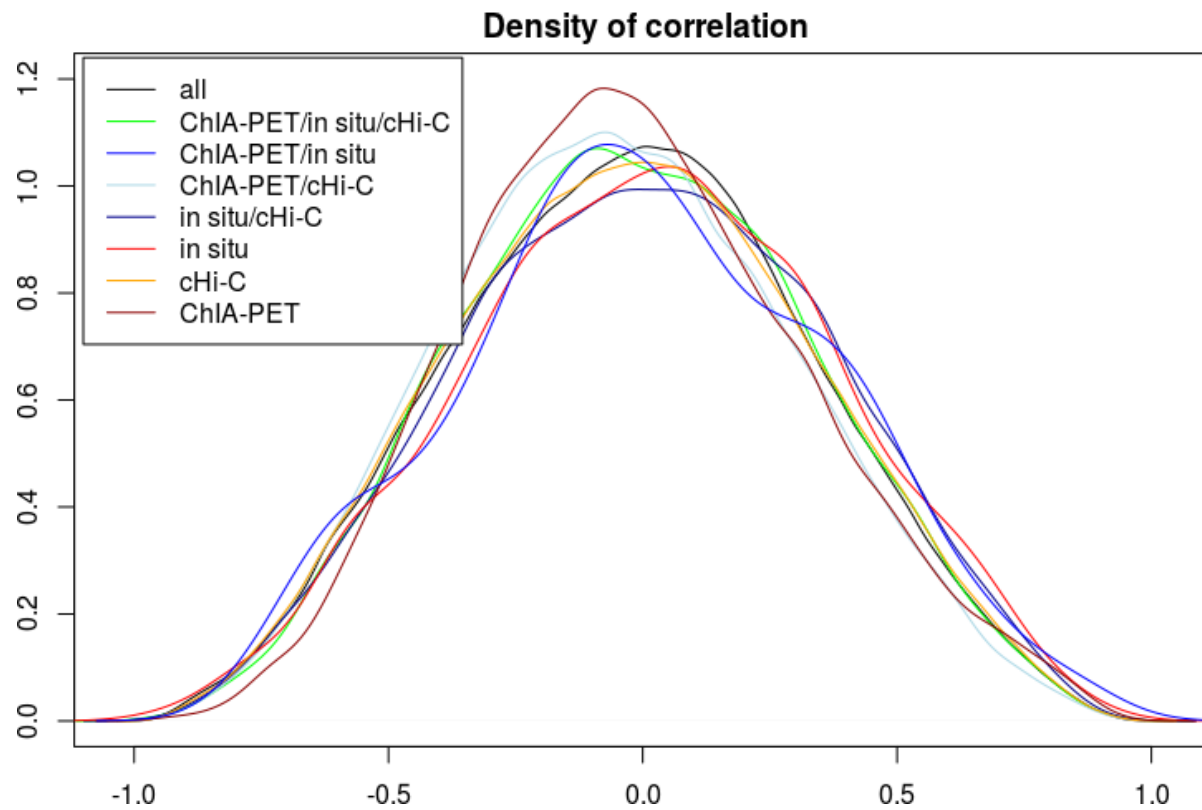




# Expression des gènes associée à l'ouverture de la chromatine

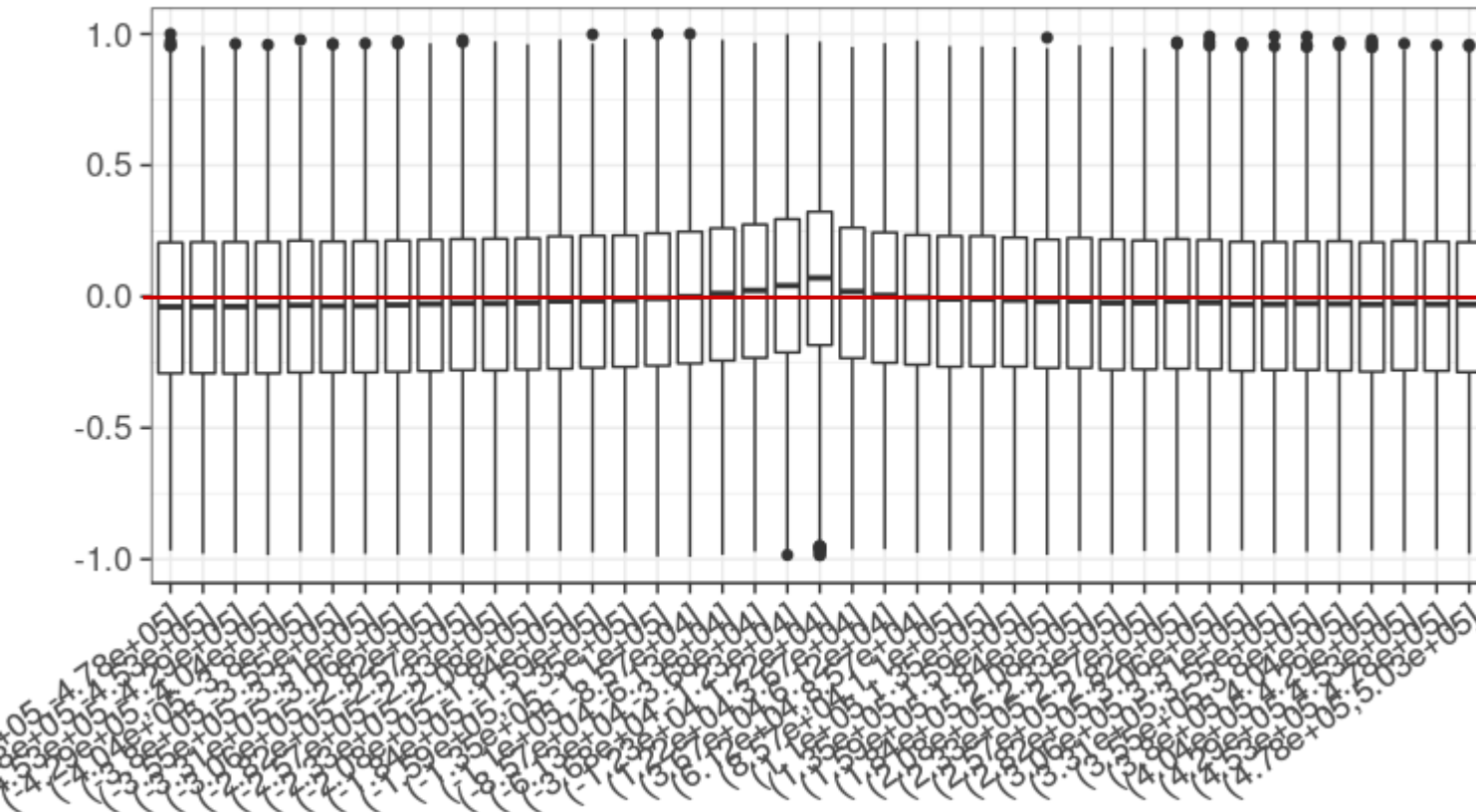


# Expression des gènes associée à l'ouverture de la chromatine



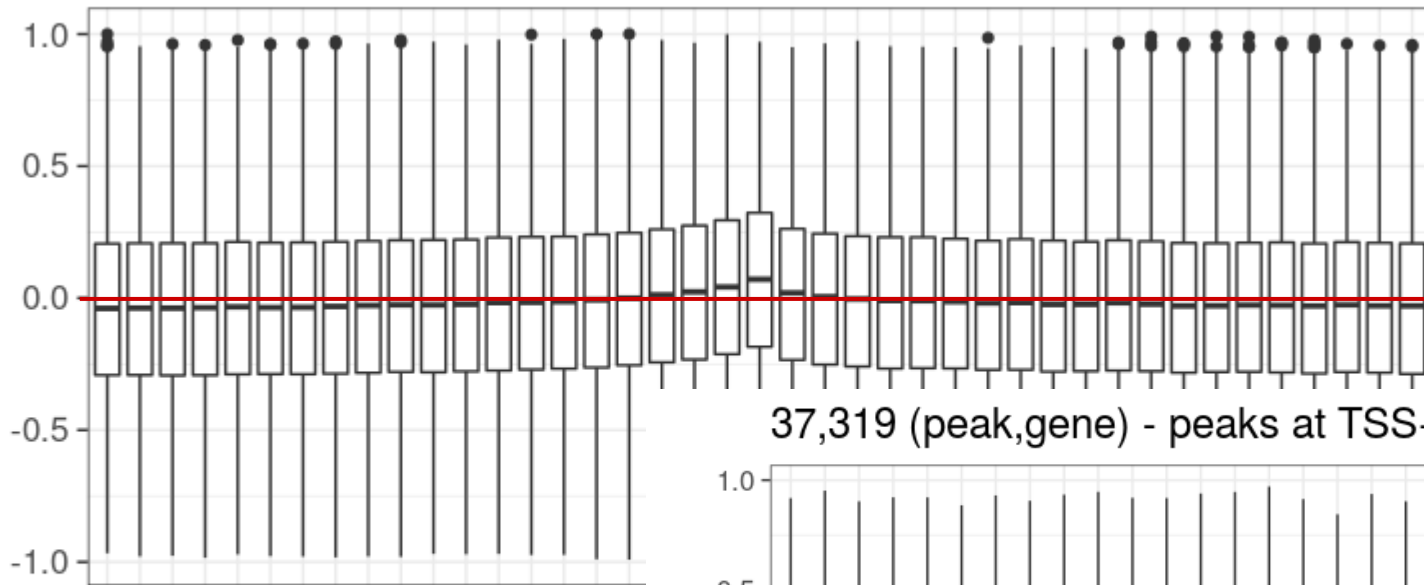
# Expression des gènes associée à l'ouverture de la chromatine

4,937,965 (peak, gene) - peaks at TSS $\pm$ 500kb

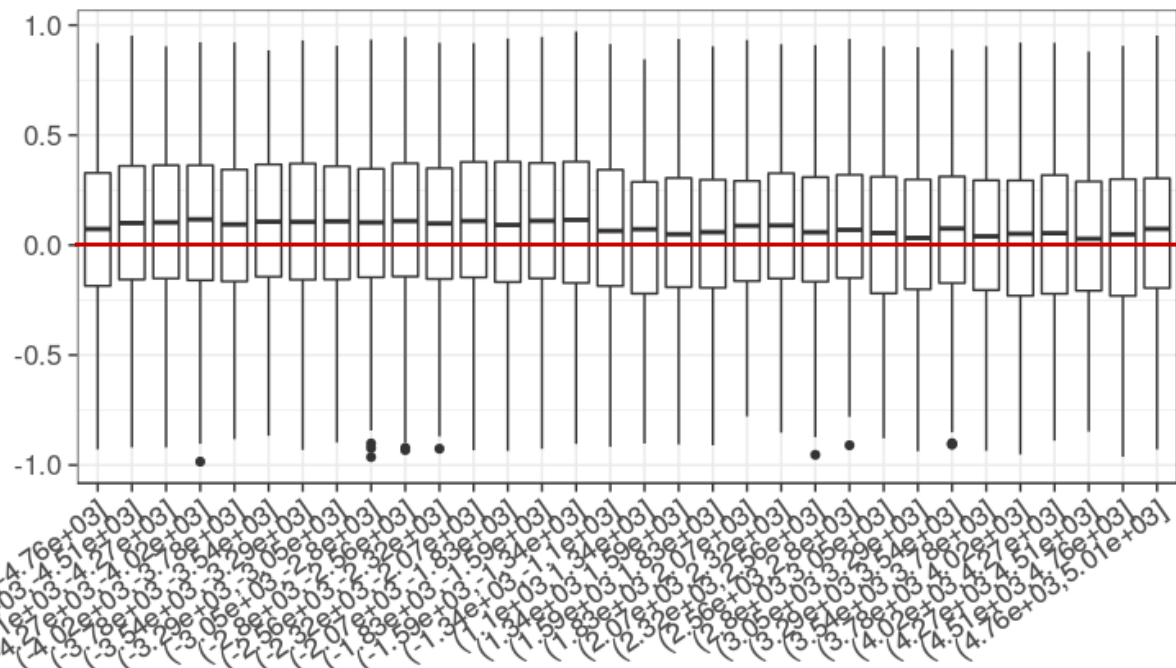


# Expression des gènes associée à l'ouverture de la chromatine

4,937,965 (peak, gene) - peaks at TSS $\pm$ 500kb

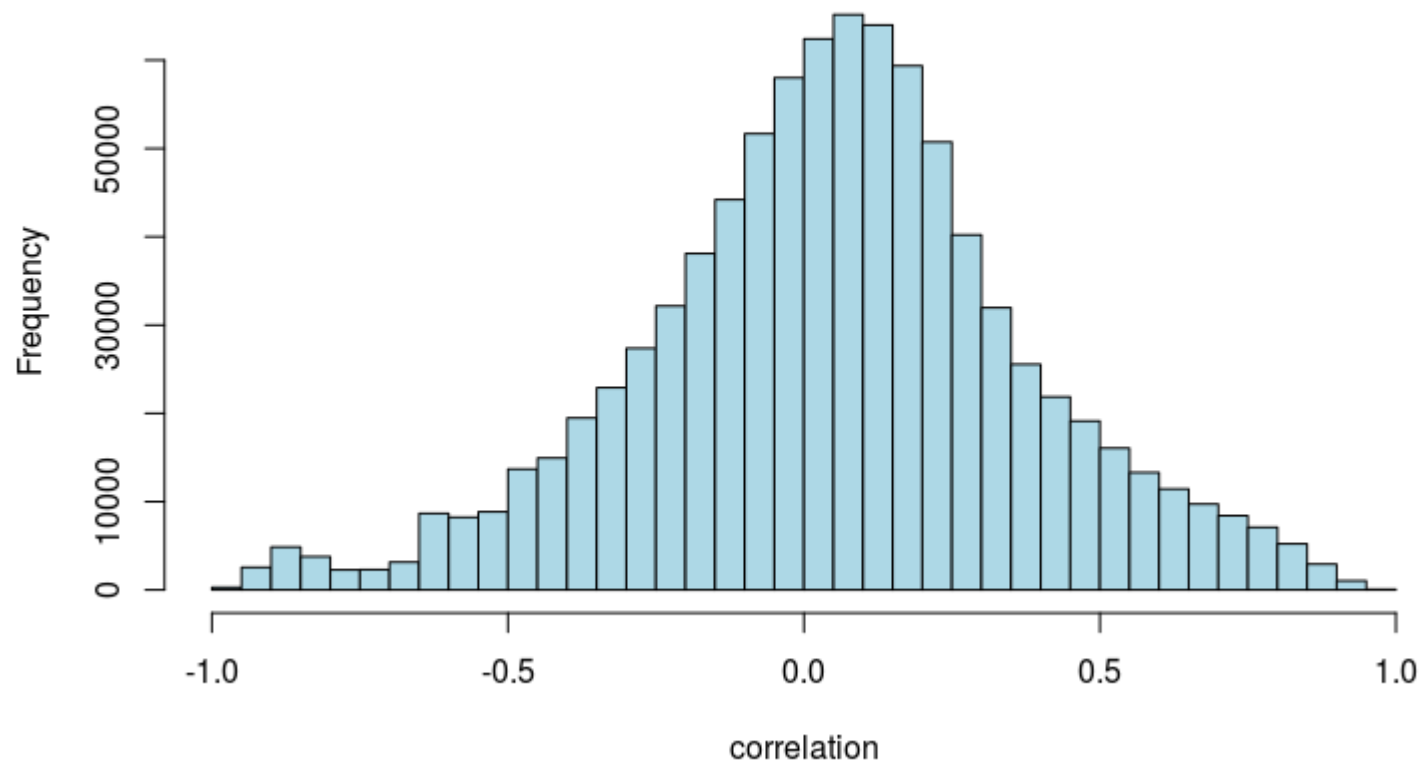


37,319 (peak, gene) - peaks at TSS $\pm$ 5kb



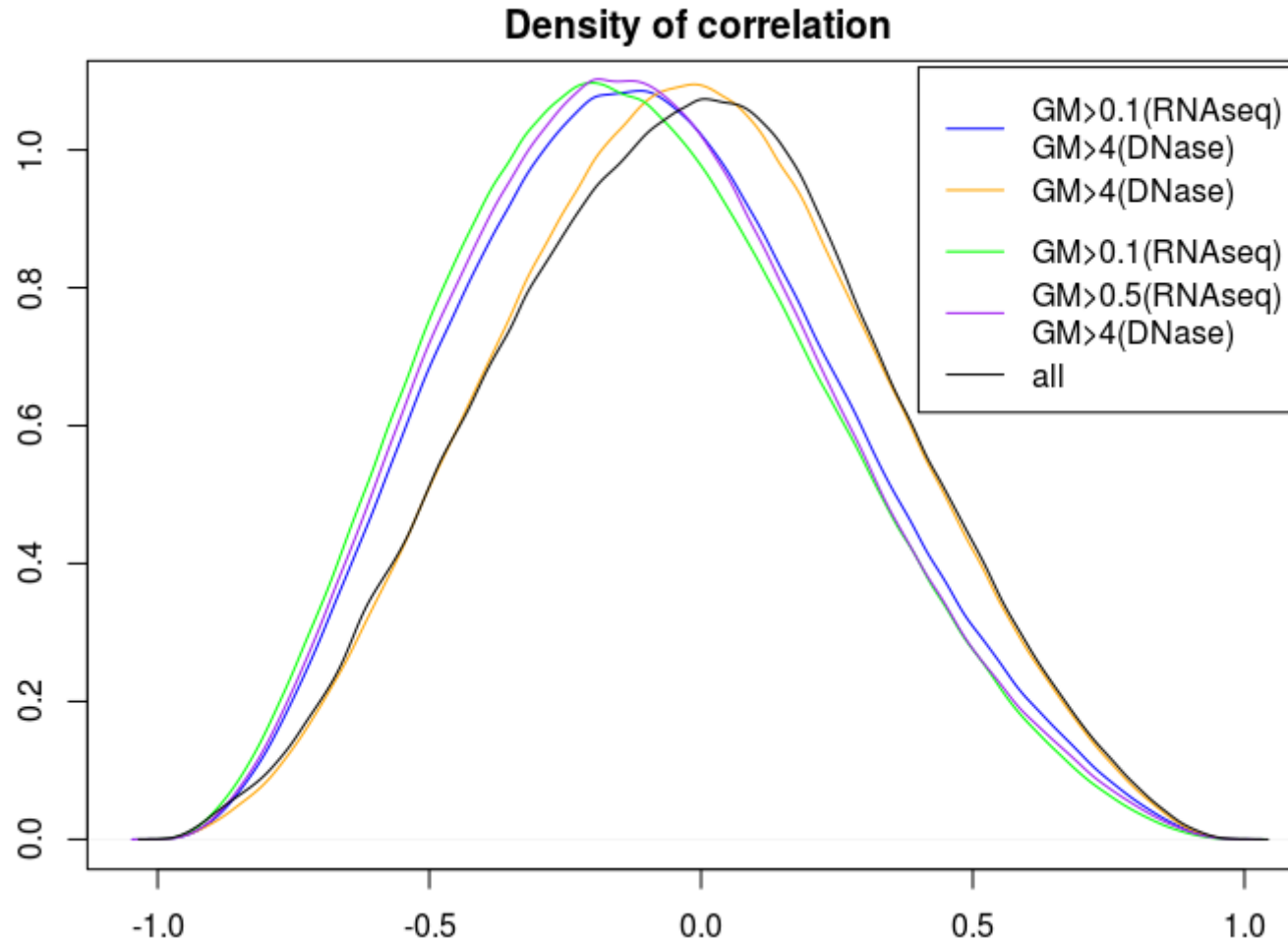
# Expression des gènes associée à l'ouverture de la chromatine

Pearson correlation between expression and DNase peak



Min.	1st Qu.	Median	Mean	3rd Qu.	Max.
-0.99130	-0.14120	0.05920	0.05066	0.24290	1.00000

# Expression des gènes associée à l'ouverture de la chromatine



# Plan

**I. Contexte et définitions**

**II. Interactions spatiales**

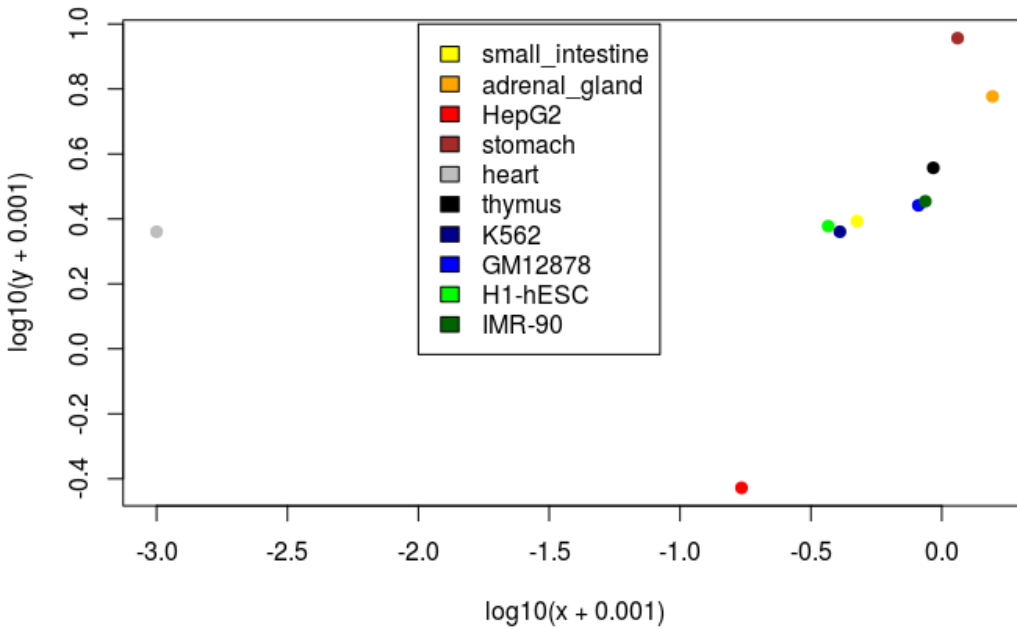
**III. Ouverture de la chromatine**

**IV. Expression des gènes associée à l'ouverture de la chromatine**

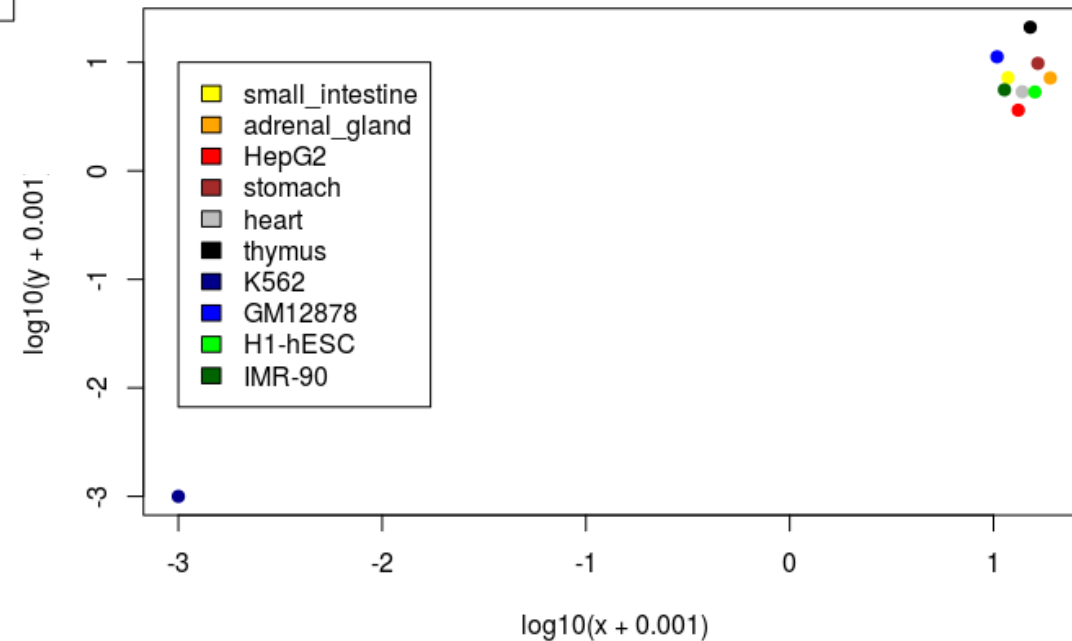
**V. Conclusions et discussion**

# Conclusions et discussion

corrPearson=0.33, corrSpearman=0.96



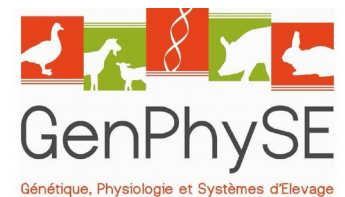
corrPearson=0.98, corrSpearman=0.23





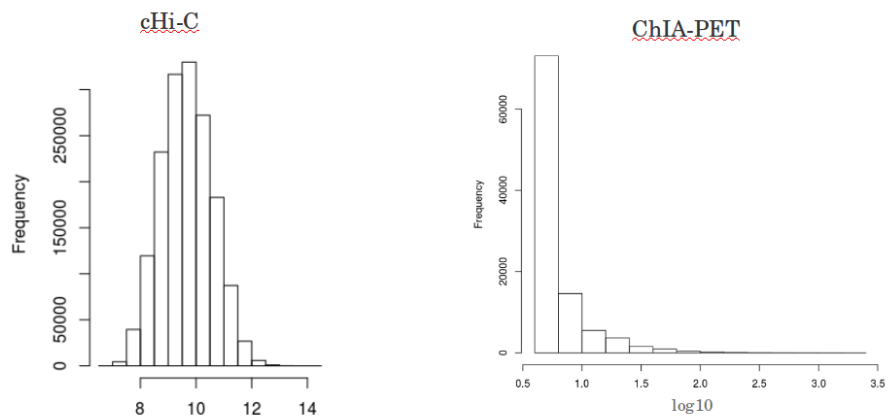
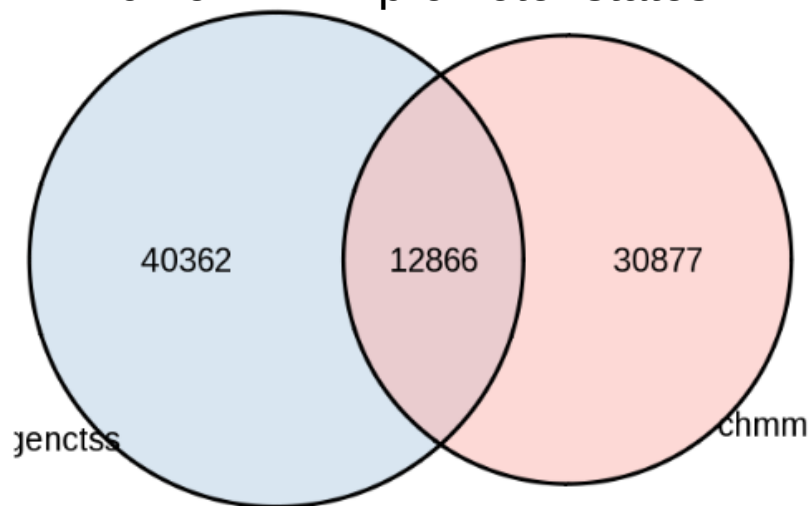
# Merci de votre attention

Mestre Camille

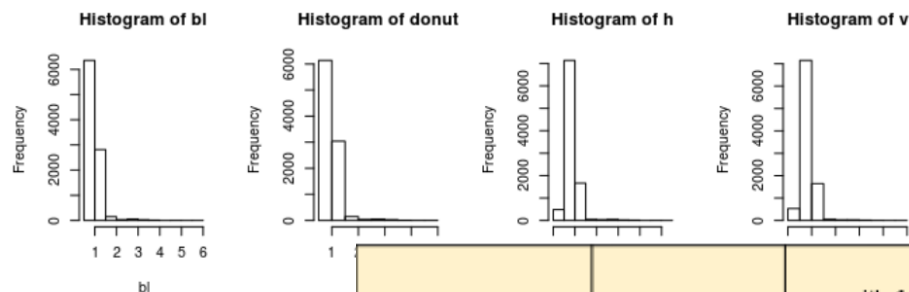
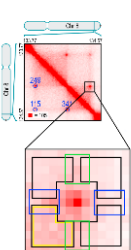


# Interactions spatiales

Comparing gencode tss+/-1kb with chromHMM promoter states



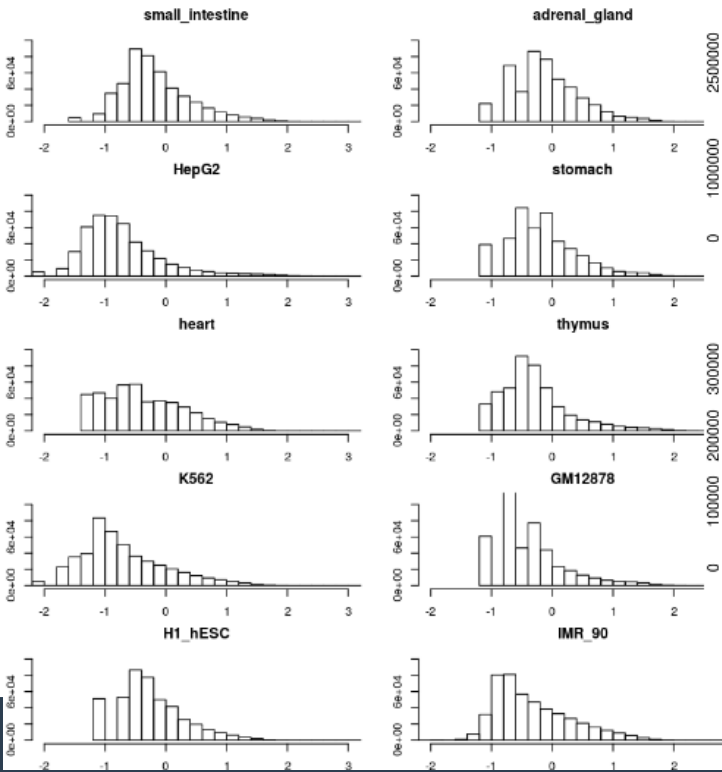
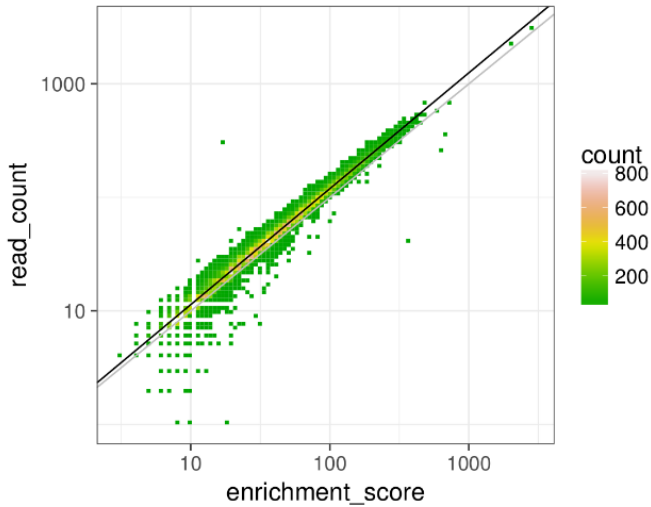
In situ Hi-C



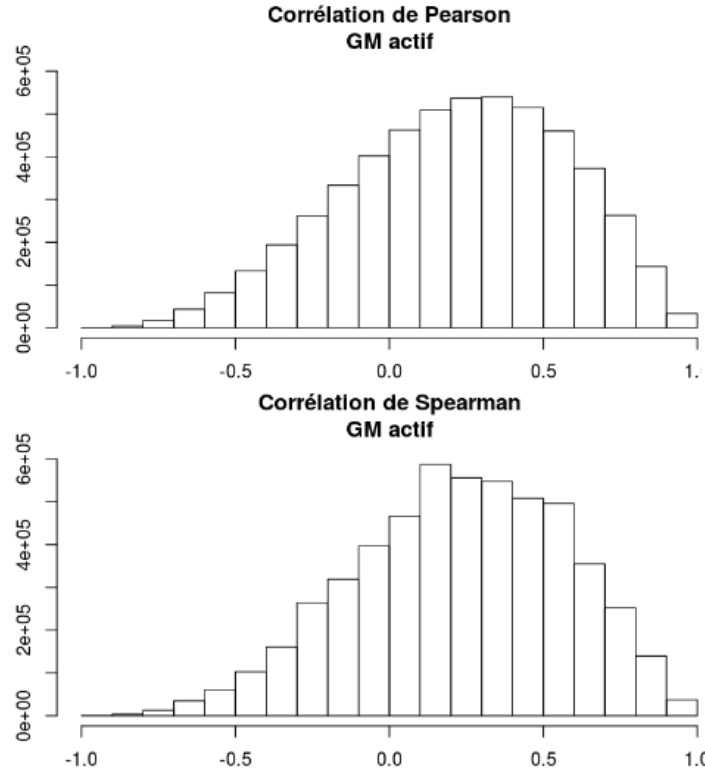
Connectionset	# connections	with 1 part overlapping a promoter state from the segmentation		with 1 part overlapping an enhancer state from the segmentation		with one part overlapping a promoter state of the segmentation and the other part overlapping an enhancer state of the segmentation	
		#	% of total	#	% of total	#	% of total
<a href="#">chiapet</a>	113,572	61,674	54.3	70,212	61.8	35,411	31.2
<a href="#">chic</a>	739,520	410,323	55.5	458,087	61.9	153,130	20.7
<a href="#">insitu</a>	9,448	3,844	40.7	6,479	68.6	2,371	25.1
<a href="#">chiapet.only</a>	91,489	44,104	48.2	53,826	58.8	23,783	26.0
<a href="#">chic.only</a>	673,487	368,068	54.7	412,418	61.2	134,313	19.9
<a href="#">insitu.only</a>	180	38	21.1	107	59.4	0	0.0
<a href="#">chiapet.chic</a>	9,222	8,882	96.3	9,048	98.1	8,039	87.2
<a href="#">chiapet.insitu</a>	753	396	52.6	646	85.8	320	42.5
<a href="#">chic.insitu</a>	1,712	1,353	79.0	1,493	87.2	982	57.4
<a href="#">chiapet.chic.insitu</a>	1,040	988	95.0	1,034	99.4	929	89.3

# Ouverture de la chromatine

GM12878 peaks ( $p_r=0.99$ ;  $s_r=0.99$ )

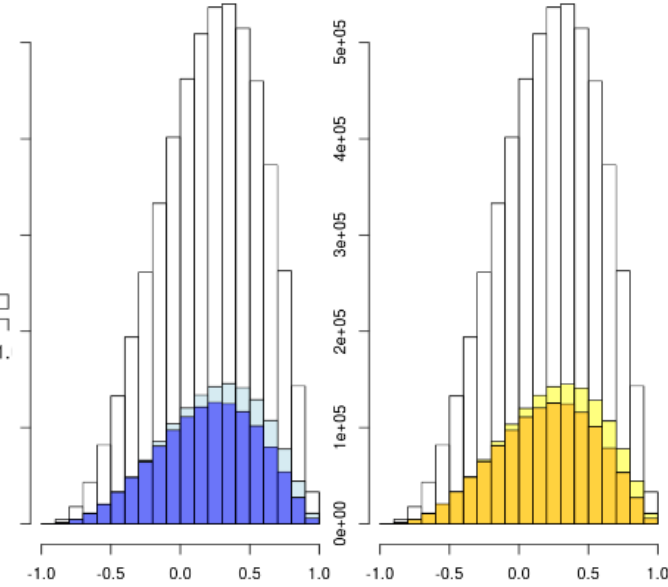


## Différence P et S



Histogramme des corrélations (interaction avant le promoteur) GM actif

Histogramme des corrélations (interaction après le promoteur) GM actif



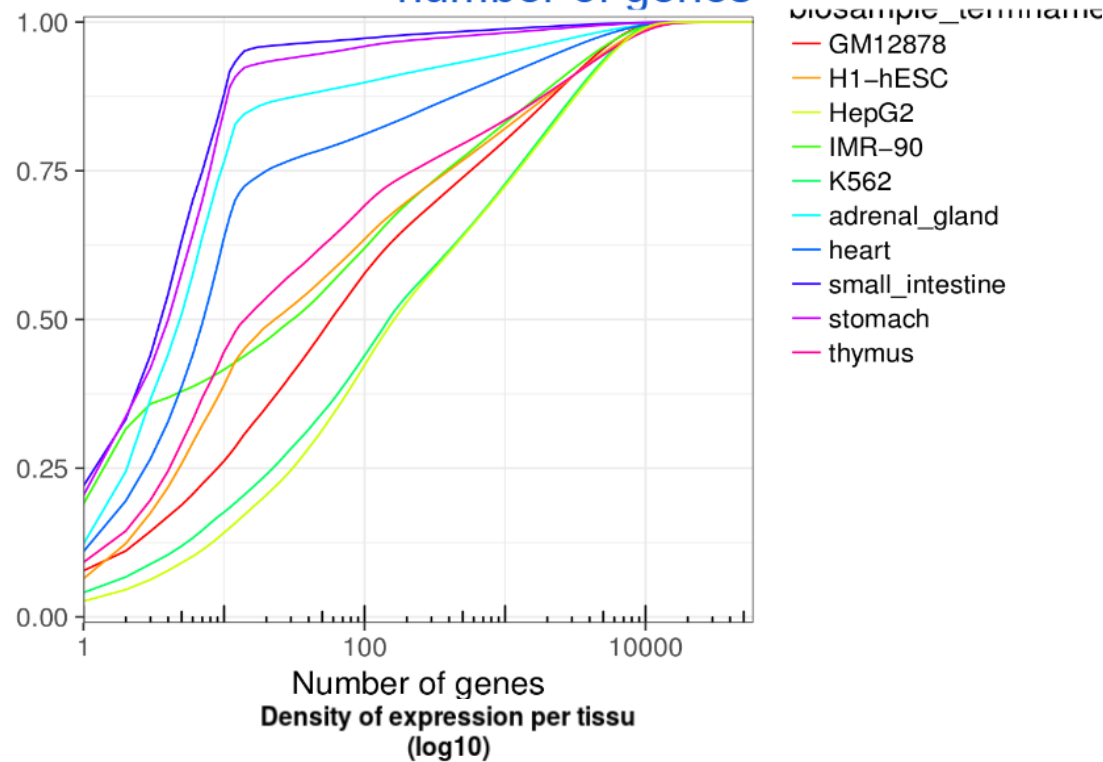
[-500kb ; -250kb] = blue  
 [-250kb ; promoter] = light blue  
 [promoter ; +250kb] = yellow  
 [+250kb ; +500kb] = orange

Histogramme avec la corrélation de Pearson au-dessus <sup>111</sup>

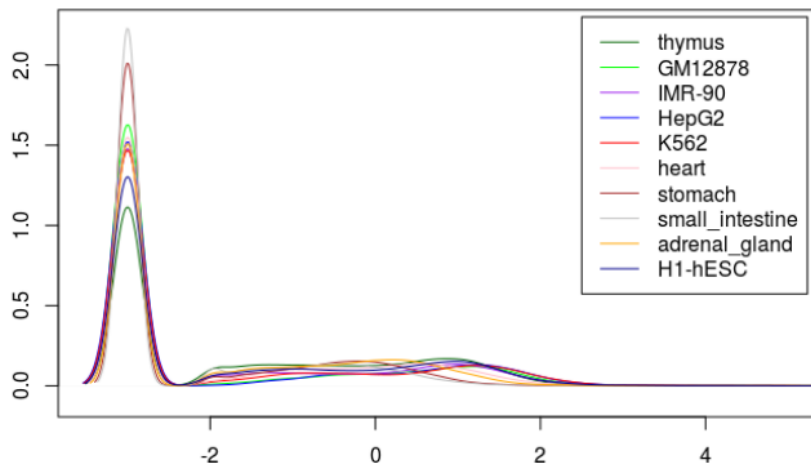
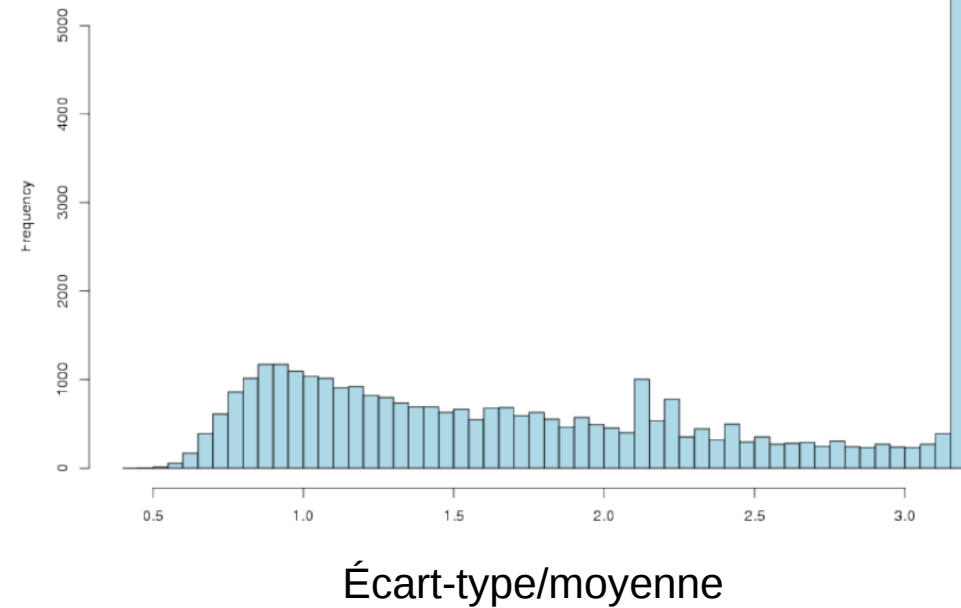
Effet distance

# Expression des gènes associée à l'ouverture de la chromatine

Fraction of the total gene TPM captured by each number of genes



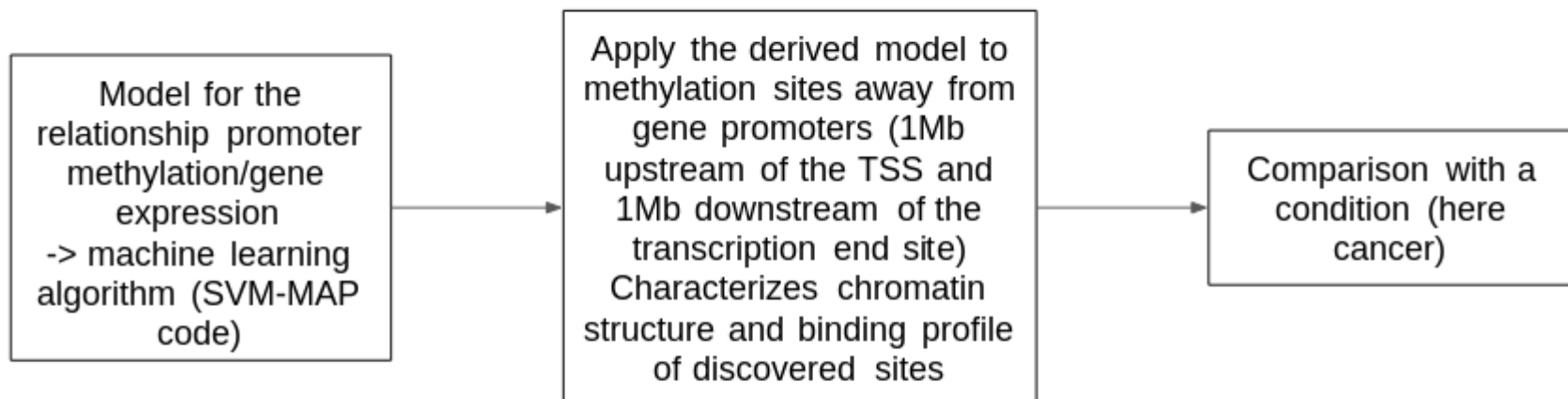
Gene coefficient of variation (35,129 genes)



pseudocount =  $\log_{10}(\text{count} + 0.001)$

# La suite du stage

*DNA methylation of distal regulatory sites characterizes dysregulation of cancer genes, Aran et al., 2013*



Use of CpG methylation sites for model development

"True" pairs with randomized pairs (interchromosomique) = inputs

Score for each pair: if score >0.85 => model successfully paired 87.2% of "true" pairs, null expectation: 50%.

- [-500;+2000] region from TSS considered for training
- Only used VMS (variable methylation sites) for the analysis
- A CpG site had to be covered 10 times in at least 60% (80%?) of the cell types

Validation by 5C

Code: <http://projects.yisongyue.com/svmmmap/>